

Государственный комитет СССР
по народному образованию

ЛЕНИНГРАДСКИЙ ОРДENA LENINA
КОРАБЛЕСТРОИТЕЛЬНЫЙ ИНСТИТУТ

И.Л.СИВЕРС

РАСЧЕТ ПРОЧНОСТИ УЗЛОВ СОЕДИНЕНЬЯ
РАЗЛИЧНЫХ СВОЛОЧЕК ВРАЩЕНИЯ

Утверждено советом института
в качестве учебного пособия



Ленинград
1980

Сиверс Н.Л., Рассчет прочности узлов соединений различных оболочек вращения: Учеб.пособие, Л.: Изд.ЛКИ, 1990, 78 с.

В пособии рассмотриваются задачи расчета оболочек вращения с постоянными гладкими радиусами кривизны при осесимметричном их нагружении, используя представление таких оболочек в виде многощетки однородных балок - полосок на сплошном упругом основании. Влияние сжатого изгиба преигнорируется.

Выдаются расчетные формулы для определения перемещений в узловых точках оболочек для различных схем нагрузок. На основе таких формул приводятся исследование напряженного состояния в узлах соединения оболочек различной формы друг с другом в местах подкрепления оболочек сваркой, присоединения к оболочкам торсопартических, концентрических и плоских дисков и др.

Пособие предназначено для студентов инженерного отделения кораблестроительного факультета ЛКИ, аспирантов дисциплины "Прочность и вибрации корабля" и выполненных курсовые и дипломные проекты, связанные с проектированием конструкций, включаящих в себя оболочки вращения.

На.28. Табл.3. Библиогр.; 9 нал.

Редакторы: А.М.Бенисон
Е.М.Чмоданова



Ленинградский ордена Ленина
кораблестроительный институт,
1990

ВВЕДЕНИЕ

Оболочки вращения нашли широкое применение в технике, особенно при проектировании различных сооружений, рабочих и производственных зданий. Корпуса таких сооружений из круговых цилиндрических и конических оболочек, а их листа - из сферических, эллиптических или торсопартических (коробчатых) оболочек. Мосты сооружают собой комбинации сферических оболочек.

Особенностью работы указанных оболочек является их склонное к изгибанию состояние в районах узлов соединения оболочек различной формы друг с другом, подкрепления изгибающим диска и др.

Написание напряженного состояния, основанное на использовании теории оболочек, встречает большие трудности и практически реализуется только на ЭВМ. В связи с этим дальнейшая изработка представляет практический интерес расчета, используя представление оболочек вращения в виде многощетки однородных балко-полосок на сплошном упругом основании, что облегчается симметричной структурой дифференциальных уравнений метода оболочек с постоянными гладкими радиусами кривизны при осесимметричном их нагружении, и балко-полосок на упругом основании.

Для сооружений, нагруженных неоднородным давлением, задача существенно усложняется, если допустить возможность проникновения листов сжатого изгиба от действия продольных усилий в оболочке на элементы ее крепления. Это допущение правомерно, как показывает схематизация такого решения с результатами теоретического решения, если толшина решетки небольшая.

В результате этого решения дифференциальные уравнения метода оболочек оказываются сильно защищены от нагрузки, что

позволяет применять принцип независимости действия сил (принцип наложения), который значительно упрощает решение задачи.

Корпуса оболочек, как было отмечено выше, разносят по геометрическим, гидравлическим и тороидальным областям, которые характеризуются изменением главных радиусов кривизны по радиусу оболочки. Дополнение о постоянстве этих радиусов в пределах изолинийальных участков их морщинок, используемое в пособии, не приводит к существенным ошибкам, но значительно упрощает решение задачи.

Табл. I. Дифференциальное уравнение кривых оболочек с постоянными главными радиусами кривизны, вынужденных изогнутых гипотензивных давлениям

§ 1. Уравнение дифференциального уравнения

Дифференциальное уравнение для-оболочки цилиндрической формы, изогнанной из оболочки кривизны с постоянными главными радиусами кривизны, имеет вид (рис. I.1)

$$D \frac{d^4 w}{dx^4} - T_1 \left(\frac{d^2 w}{dx^2} + \frac{1}{R_1} \right) = p + T_2 \frac{T_3}{R_2}, \quad (1.1)$$

где $D = E^2 / [(R_1^2 - R_2^2)]$ – эпилептическая жесткость оболочки δ -волнами; R_1 и R_2 – радиусы изогнания в концентрических областях; T_1 и T_2 – усилия, действующие в концентрических и морщикованных сечениях; p – внешнее давление; w – вертикальное смещение элемента оболочки, нормальное к ее поверхности.

Дополнительные деформации оболочки в концентрических и морщикованных сечениях связуют зависимостью с усилиями T_1 и T_2 и вертикальным смещением элемента w , подчиняющейся при его изогнутии к центру кривизны:

$$\frac{\partial^2}{\partial x^2} \left(\frac{T_2}{R_2} - \frac{T_1}{R_1} \right) = - \frac{w}{R_2}, \quad (1.2)$$

и, следовательно,

$$T_2 = - \frac{E S}{R_2} w + 2 T_1, \quad (1.3)$$

откуда из оснований (1.1) и (1.3) следует

$$D \frac{d^4 w}{dx^4} - T_1 \frac{d^2 w}{dx^2} + \frac{E S}{R_2^2} w = p + T_1 \left(\frac{1}{R_1} + 2 \frac{1}{R_2} \right). \quad (1.4)$$

Применяя к левому члену этого уравнения (1.4), получим

$$D \frac{d^4 w}{dx^4} + \frac{E S}{R_2^2} w = p + T_1 \left(\frac{1}{R_1} + 2 \frac{1}{R_2} \right) \quad (1.5)$$

и, следовательно, задача изгиба оболочки кривизны с постоянными главными радиусами кривизны сводится к задаче изгиба оболочки на плоском упрогом основании.

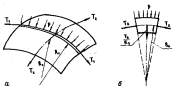


Рис. I.1. К расчету оболочек кривизны с постоянными главными радиусами кривизны: а – расчетный схема; б – схема погруженного элемента в толстом сечении

Заметим, что оболочками с постоянными главными радиусами кривизны являются только круговые цилиндрические и сферические оболочки.

Использование дифференциального уравнения (1.5) для расчета концентрических, тороидальных и морщикованных оболочек можно только при некоторой ограничении в характеристиках этих оболочек.

§ 2. Дифференциальное уравнение метода разложения областей в его общий интеграл

1. Круговая циклоидальная область. Радиус изогнутости $R_1 = \infty$; радиус кольцевого сечения $R_2 = r$, где r — радиус кругового сечения области.

Также в кольце имеем

$$T_1 = -\frac{rF}{2}, \quad (1.6)$$

отсюда из уравнения (1.6)

$$D \frac{d^4 w}{dx^4} + \frac{E S}{r^2} w = p \left(1 - \frac{F}{r} \right), \quad (1.7)$$

Общий интеграл уравнения (1.7) состоит из одного интеграла окружного граиника

$$D \frac{d^4 w_0}{dx^4} + \frac{E S}{r^2} w_0 = 0 \quad (1.8)$$

и чистого решения, которое для нагрузки, определяемой алгебраическим выражением не выше третьей степени, можно представить в форме

$$w_{00} = \frac{pr^2}{ES} \left(1 - \frac{F}{2} \right). \quad (1.9)$$

Общий интеграл уравнения (1.8) может быть представлен в виде

$$\begin{aligned} w_0 = & e^{-\frac{rx}{2}} (A_1 \cos rx + A_2 \sin rx) + \\ & + e^{\frac{rx}{2}} (A_3 \cos rx + A_4 \sin rx), \end{aligned} \quad (1.10)$$

где A_1 — произвольные постоянные интегрирования;

$$\alpha = \sqrt{\frac{E S}{4 D r^2}} = \frac{1,285}{\sqrt{r} F}. \quad (1.11)$$

Общий интеграл (1.10) используется при решении задач об области симметрии большой протяженности, загруженных нагрузками на ограниченном участке поля координат. В этом случае постоянные A_3 и A_4 следует принять равными нулю,

т.к. поскольку прогиб не может неограниченно возрастать с увеличением координаты x .

Для решения таких задач можно ограничиться только узким членом общего интеграла, т.е.

$$w_0(x) = A_1 W_1(x) + A_2 W_2(x), \quad (1.12)$$

где $W_1(x)$ и $W_2(x)$ — функции Кошика, определяемые равенствами:

$$\left. \begin{aligned} W_2(x) &= e^{-\frac{rx}{2}} \cos rx; \\ W_1(x) &= -e^{-\frac{rx}{2}} \sin rx. \end{aligned} \right\} \quad (1.13)$$

Значит для функции Кошика

$$\left. \begin{aligned} W_1(x) &= -\frac{1}{\sqrt{2}} e^{-\frac{rx}{2}} (\cos rx - \sin rx); \\ W_2(x) &= \frac{1}{\sqrt{2}} e^{-\frac{rx}{2}} (\cos rx + \sin rx). \end{aligned} \right\} \quad (1.14)$$

Установим следующую связь между этими функциями:

$$\left. \begin{aligned} \frac{dW_2(x)}{dx} &= -\sqrt{2} \alpha W_1(x); & \frac{dW_1(x)}{dx} &= \sqrt{2} \alpha W_2(x); \\ \frac{dW_1(x)}{dx} &= \sqrt{2} \alpha W_2(x); & \frac{dW_2(x)}{dx} &= -\sqrt{2} \alpha W_1(x). \end{aligned} \right\} \quad (1.15)$$

Числовые значения функций Кошика определяются по таблицам [1, с. 222].

При $x = 0$ функции Кошика принимают значения $W_1(0) = 1$; $\sqrt{2} \alpha W_1(0) = -1$; $W_2(0) = 0$; $\sqrt{2} \alpha W_2(0) = 1$.

Для расчета областей ограниченной длины применим круговую форму общего интеграла окружного граиника (1.8)

$$w_0(x) = D_1 V_1(x) + D_2 V_2(x) + D_3 V_3(x) + D_4 V_4(x), \quad (1.16)$$

где D_1 — произвольные постоянные интегрирования; $V_i(x)$ — четыре линейно независимых частных интеграла уравнения (1.8), имеющих функции Б.Н.Пузыревского, которые имеют вид:

$$\left. \begin{aligned} V_1(x) &= \cosh rx \cos rx; \\ V_2(x) &= \frac{1}{\sqrt{2}} (\cosh rx \sin rx + \sin rx \cosh rx); \\ V_3(x) &= \sin rx \sin rx; \\ V_4(x) &= \frac{1}{\sqrt{2}} (\sin rx \sin rx - \cosh rx \sin rx). \end{aligned} \right\} \quad (1.17)$$

Для определения величин $V_1(x, z)$ имеют таблицы [2, с.126].

Функция Бесселяного так же, как и функция Кантори, рассматривает следующему правило дифференцирования:

$$\begin{cases} \frac{dV_1(x, z)}{dx} = -\sqrt{z} \alpha V_1(x, z); \quad \frac{dV_1(x, z)}{dz} = \sqrt{z} \alpha V_1(x, z), \\ \frac{dV_2(x, z)}{dx} = \sqrt{z} \alpha V_2(x, z); \quad \frac{dV_2(x, z)}{dz} = \sqrt{z} \alpha V_2(x, z). \end{cases} \quad (1.16)$$

2. Сферическая оболочка. Для сферической оболочки радиуса концентрического сечения и наружные границы радиуса R :

$$R_s = R_1 = R. \quad (1.17)$$

Радиус в концентрическом сечении

$$T_1 = -\frac{pR}{z}, \quad (1.18)$$

откуда по (1.5)

$$Dw'' + \frac{Eg}{R^2} w = \frac{p}{z}(1-\alpha). \quad (1.19)$$

Общий интеграл дифференциального уравнения (1.19) имеет вид

$$w(z) = \frac{pR^2}{2Eg}(1-\alpha) + w_0(z), \quad (1.20)$$

где $w_0(z)$ – общий интеграл однородного уравнения, который может быть записан либо в форме (1.13), либо (1.16), причем параметр α имеет значение

$$\alpha = \frac{1,285}{\sqrt{Rg}}. \quad (1.21)$$

3. Коническая оболочка. Радиус наружных оболочек $R_1 = \infty$. Радиус концентрического сечения определяется равенством

$$R_s = \frac{r}{\cos \gamma}, \quad (1.22)$$

где r – радиус сечения конического сечения конуса; γ – угол конусности.

Радиус в концентрическом сечении оболочки

$$T_1 = -\frac{pR_s}{z}. \quad (1.23)$$

Согласно (1.5) дифференциальное уравнение конической оболочки

$$Dw'' + \frac{Eg}{R_s^2} w = p\left(1 - \frac{\alpha}{2}\right). \quad (1.24)$$

Тогда, что радиус концентрического сечения оболочки переменный, используем равенство дифференциального уравнения (1.24) в виде

$$w(z) = \frac{pR_s^2}{Eg}\left(1 - \frac{\alpha}{2}\right) + w_0(z), \quad (1.25)$$

где $w_0(z)$ – общий интеграл однородного уравнения в форме (1.13) или (1.16), в которых

$$\alpha = \frac{1,285}{\sqrt{R_s g}} \quad (1.26)$$

только на ограниченном участке длины оболочки, при z ых ко-
нусности не более $20-25^\circ$.

4. Тороидальная и эллиптическая оболочки. Тороидальные и эллиптические оболочки встречаются в изотермических радиальных сечениях в качестве днища, замораживаемого кораблем, теплоносителя и т.д. Тороидальные оболочки представляют собой сферические сегменты, симметричные по коническим прямым с цилиндрическими или коническими оболочками кораблем сегментом с помощью торовий винтовых (рис.1.2).

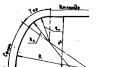


Рис.1.2. Схема получения тороидальной оболочки

В практике торовой винтовой радиус морозильных машин – радиус тора $R_s = R_0$, где R_0 – радиус тора.

Радиус концентрического сечения изменяется в пропорции:

$$r = R_0 + R,$$

где r – радиус концентрического сечения цилиндрической или ко-

контактной оболочки в отрывом сечении с торцовой кромкой; R_s — радиус сферы.

В практических расчетах instead радиуса контактного сечения берутся равные нулю:

$$R_s = r_{\text{ср}} = \frac{R + r}{2}. \quad (1.29)$$

Тогда в контактном сечении

$$T_1 = -\frac{p R_s}{2}. \quad (1.30)$$

Согласно изложению (1.5) дифференциальное уравнение горизонтальной оболочки

$$Dw'' + \frac{EB}{r_{\text{ср}}} w = p \left(1 - \frac{a}{2} - \frac{p_{\text{ср}}}{2R_s} \right). \quad (1.31)$$

Для контактных оболочек параметры не только изгибаются радиусом контактного сечения, но также и изгибаются изгибом радиусом вершины.

Границы радиуса кривизны контактной оболочки (рис. 1.3) определяем в зависимости от параметра

$$\psi = \frac{a^2}{b^2} = 1, \quad (1.32)$$

где a — радиус основания контактного днища; b — его высота (высота подъема оболочки).

Радиус кривизны вершины

$$R_1 = \frac{a(1+\psi)^{1/2}}{(1+\psi \sin^2 \psi)^{1/2}}, \quad (1.33)$$

где ψ — угол, образованный нормалью к вершине с осью оболочки.

Радиус кривизны контактного сечения — сечение плоскости, перпендикулярной плоскости вершины (см. рис. 1.3)

$$R_2 = \frac{a(1+\psi)^{1/2}}{(1+\psi \sin^2 \psi)^{1/2}}. \quad (1.34)$$

Границы в контактном сечении оболочки

$$T_1 = -\frac{p R_2}{2}. \quad (1.35)$$

Дифференциальное уравнение контактной оболочки

$$Dw'' + \frac{EB}{R_2} w = p \left(1 - \frac{a}{2} - \frac{p_{\text{ср}}}{2R_1} \right). \quad (1.36)$$

Заметим, что частные решения дифференциальных уравнений (1.31) и (1.36), определяющие деформации горизонтальной оболочки, когда R_2 принимает R_1 , в два раза в большем масштабе отвечают решениям для контактной оболочки, когда R_2 принимает радиус изгиба в сторону, противоположную изгибу.

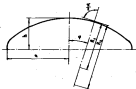


Рис. 1.3. Схема сечения контактного днища по вершине

Общий метод решения дифференциального уравнения (1.36) может быть приведен при определении узкой контактной оболочки днища сферы с оболочкой итто коридора. Значения R_1 и R_2 следует при этом принять для отрывного сечения днища.

§ 3. Расчетные формулы для определения параметров в узких сечениях оболочек крановки

Рассмотрим основные расчетные схемы оболочки крановки, разработанные для определения узких контактных оболочек танков из других материалов в местах их соединения. Так, в частности, в задачах исследования напряженного состояния в узких сечениях цилиндрической или конической оболочки с конической переднейкой различной формы, а также конических оболочек с различными углами наклона представляют интерес деформации

контуру сферического сегмента либо при пологодианской или конической оболочке, изогнувших по контуру силы и моменты.

Для решения этих задач используется решение задачи об изгибе полубесконечной балки, лежащей на упругом основании с нагрузкой силой и моментом в начале координат (рис.1.4),



Рис.1.4. Схема нагрузки полубесконечной балки на упругом основании

Согласно (I.12) после определения производных постоянных из граничных условий при $x = 0$, $W''(x) = M$ и $W'''(x) = 0$ вертикальное перемещение балки-полосы, угол поворота ее сечений и изгибающий момент выражаются выражениями

$$\left. \begin{aligned} w(x) &= \frac{2\alpha}{\kappa} W_0(\alpha x)P - \frac{2\sqrt{2}\alpha^2}{\kappa} W_1(\alpha x)M; \\ w'(x) &= -\frac{2\sqrt{2}\alpha^2}{\kappa} W_1(\alpha x)P + \frac{4\alpha^3}{\kappa} W_0(\alpha x)M; \\ M(x) &= D w''(x) = -\frac{1}{\alpha} W_0(\alpha x)P + \sqrt{2} W_1(\alpha x)M, \end{aligned} \right\} \quad (I.37)$$

где P и M – соответственно сила и момент; $W_j(\alpha x)$ – функция Клюнга аргумента (αx) .

$$\alpha = \frac{1,285}{\sqrt{R_1} S}; \quad \kappa = \frac{E S}{R_1^2}; \quad (I.38)$$

R_1 – радиус кривизны контура сечений оболочки; S – толщина оболочки.

На краю оболочки ($x = 0$) $W_0(0) = 1$; $W_1(0) = -\sqrt{2}$; $W_2(0) = 1/\sqrt{2}$ – с учетом осознанный (I.38)

$$\left. \begin{aligned} w(0) &= \frac{2,57 R_1^2}{E S \sqrt{R_1} S} P + \frac{3,3 R_1}{E S} M; \\ w'(0) &= -\frac{3,3 R_1 P}{E S^2} - \frac{0,46 R_1}{E S \sqrt{R_1} S} M. \end{aligned} \right\} \quad (I.39)$$

Для пологодианской оболочки – $R_1 = r$; для конической – $R_1 = r/\cos\varphi$; для сферической – $R_1 = R$.

При решении задачи изогнувшись изогнутого состояния происходит движение конца передней краиной балки и круговой пологодианской оболочки изгибаются задачи об изгибе бесконечно длинной балки, изогнувшись изогнувшись длины соответствующими силой и моментом (рис.1.5).



Рис.1.5. Схема нагрузки бесконечной балки на упругом основании

Согласно (I.12) вертикальное перемещение балки-полосы, угол поворота ее сечений и изгибающий момент (при $x > 0$) определяет по выражениям

$$\left. \begin{aligned} w(x) &= \frac{\alpha}{2\kappa} \sqrt{2} W_0(\alpha x)P - \frac{\alpha^2}{\kappa} (W_1(\alpha x) + \sqrt{2} W_2(\alpha x))M; \\ w'(x) &= \frac{\alpha^2}{\kappa} W_1(\alpha x)P + \frac{\alpha^3}{\kappa} \sqrt{2} (W_2(\alpha x) - \sqrt{2} W_1(\alpha x))M; \\ M(x) &= \frac{\sqrt{2}}{4\alpha} W_1(\alpha x)P + \frac{1}{2}(W_2(\alpha x) + \sqrt{2} W_1(\alpha x))M. \end{aligned} \right\} \quad (I.40)$$

Вертикальное пологодианской оболочки и изгибающий момент в месте граничных условий ($x = 0$) с учетом осознанный (I.38) при $R_1 = r$

$$\left. \begin{aligned} w(0) &= \frac{0,642 r^2}{E S \sqrt{r} S} P; \\ w'(0) &= -\frac{2,12 r}{E S^2 \sqrt{r} S} M. \end{aligned} \right\} \quad (I.41)$$

Изгибающий момент при $x = 0$ отсчитан от точки приведения P и M (см.рис.1.5)

$$M(0) = 1,95 P \sqrt{r} S + 0,5 M, \quad (I.42)$$

связь от точки приведения си

$$M(0) = -1,95 P \sqrt{r} S - 0,5 M. \quad (I.43)$$

Определение усилий изгибающих моментов сферической консольной переборки в круглой цилиндрической оболочке состоит также определении величины вертикальных и горизонтальных перемещений для фиксированной длины балки, лежащей на упругом основании и нагруженной равномерно распределенной изогнутой на постоянную длину балки (рис. I.6).

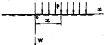


Рис. I.6. Схема фиксированной балки на упругом основании, нагруженной равномерно распределенной нагрузкой на постоянную длину балки.

Для круглой цилиндрической оболочки, покояющейся в узловых консольных сдвигах в работе действиями распределенной нагрузки, эти перемещения определяются следующими выражениями:

Вертикальные перемещения в работе нагруженного участка ($\alpha > 0$)

$$w(x) = \frac{P r^2}{E S} \left(1 - \frac{\alpha}{2}\right) \left[1 + \frac{W_2(\alpha x)}{2}\right], \quad (I.44)$$

где P — интенсивность внешнего момента.

Горизонтальные перемещения и изгибающий момент на этом участке

$$\begin{aligned} w'(x) &= \frac{P r^2}{E S} \left(1 - \frac{\alpha}{2}\right) \sqrt{2} \alpha W_3(\alpha x), \\ M(x) &= \frac{P}{4 \alpha r^2} \left(1 - \frac{\alpha}{2}\right) W_2(\alpha x). \end{aligned} \quad (I.45)$$

При $\alpha = 0$

$$\begin{aligned} w(x) &= \frac{P r^2}{E S} \left(1 - \frac{\alpha}{2}\right); \\ w'(0) &= \frac{0,642 P r^2}{E S \sqrt{r \delta}} \left(1 - \frac{\alpha}{2}\right); \\ M(0) &= 0. \end{aligned} \quad (I.46)$$

Вертикальные перемещения и изгибающий момент в работе изогнутого участка ($\alpha < 0$)

$$\left. \begin{aligned} w(x) &= \frac{P r^2}{E S} W_3(-\alpha x); \\ M(x) &= -\frac{P}{4 \alpha r^2} W_2(-\alpha x). \end{aligned} \right\} \quad (I.47)$$

Задача с изогнутым равной длины от конца покоящимся консольной и бесконечной длины, лежащей на упругом основании, в задачах расчета оболочек времени приходится использовать такие же решения задач от конца балки конечной длины, лежащей на упругом основании и загруженной на концы сосредоточенной силой P и моментом M (рис. I.7).



Рис. I.7. Схема нагрузки балки с ограниченной длиной

Вертикальные колебания балки определяются следующими формулами:

Внешние перемещения (вертикальные и изгибающие действуют силы P см. рис. I.7)

$$\left. \begin{aligned} w(0) &= -\frac{2 \alpha^2}{\kappa} \{j_1(\alpha)M - \frac{E \delta}{\kappa} \{j_2(\alpha)P\}\}; \\ w(L) &= \frac{2 \alpha^2}{\kappa} \{j_2(\alpha)M + \frac{E \delta}{\kappa} \{j_1(\alpha)P\}\}. \end{aligned} \right\} \quad (I.48)$$

Горизонтальные перемещения (изгибающие и изгибающие моменты M на рис. I.7)

$$\left. \begin{aligned} w'(0) &= \frac{4 \alpha^3}{\kappa} \{j_2(\alpha)M + \frac{E \delta^2}{\kappa} \{j_3(\alpha)P\}\}; \\ w'(L) &= \frac{4 \alpha^3}{\kappa} \{j_3(\alpha)M + \frac{E \delta^2}{\kappa} \{j_2(\alpha)P\}\}. \end{aligned} \right\} \quad (I.49)$$

где

$$\alpha = \frac{1,725}{\sqrt{E_\delta S}}; \quad \kappa = \frac{E S}{B_2^2}; \quad M = \alpha b = \frac{1,285 L}{\sqrt{E_\delta S}},$$

B_2 — радиус кривизны концевого сечения оболочки; L — длина балки (задача), лежащей на оболочки.

$$\left. \begin{aligned} f_1(u) &= \operatorname{tanh} u \sin u / f_2(u); \\ f_2(u) &= (\operatorname{ch} u \sin u - \operatorname{sh} u \cos u) / f_3(u); \\ f_3(u) &= (\operatorname{ch}^2 u - \operatorname{coth}^2 u) / f_4(u); \\ f_4(u) &= \frac{1}{2} (\operatorname{sh} 2u - \operatorname{sin} 2u) / f_5(u); \\ f_5(u) &= (\operatorname{ch} u \sin u + \operatorname{sh} u \cos u) / f_6(u); \\ f_6(u) &= (\operatorname{sh} 2u + \operatorname{sin} 2u) / f_7(u), \end{aligned} \right\} \quad (1.50)$$

так

$$f_7(u) = \operatorname{sh}^2(u) - \operatorname{sin}^2 u. \quad (1.51)$$

Значения функций $f_i(u)$ приведены в табл. I приложения. Для промежуточных значений аргумента u можно брать произвольные значения соответствующих таблиц.

Приложение выражения для выражения (1.48) и (1.49) к расчетам изгибательных функций используется для раскрытия статической неопределенности оболочки отсутствия изменяющихся толщины.

Для определения усилий изгибательных оболочек различной толщины с конфигурацией подвижности утолщенного края оболочки рассмотрена расчетная схема изогнутого участка оболочки кривизны, представленную на рис. I.8, а. Пояснение работы изгибательных утолщенных участков (рис. I.8, б) с оболочкой постоянной толщины, которая рассматривается как полусескансальная балка-изогнута на упругом основании.



Рис. I.8. Рассчетная схема изогнутого участка оболочки с изменяющейся толщиной (a) и утолщенным участком оболочки (б).

Следует отметить, что решение задачи определения усилий изгибательных утолщенных участков оболочек с оболочкой постоянной толщины имеет значение, потому что для решения

изогнутого состояния оболочки можно использовать градиентные утолщенные участки. Для определения величины коэффициента изгибательной подвижности утолщенного края оболочки [4] учитывается величина утолщенного участка изгибательной кривизны, поскольку протяженность зоны краевого эффекта оказывается пропорциональной радиусу протяженности зоны утолщений.

Узкие изгибательные утолщенные участки оболочек с оболочкой постоянной толщины могут быть выражены через величины, приложенные к краю утолщенного участка оболочки, но узкий разрывчатый радиусы в узких изгибательных участках определяет разрывчатые усилия в сечении сопряжения двух участков, которые (рис. I.9) имеют плавный вид.



Рис. I.9. Схема в определении усилий изгибательных изогнутого участка оболочки

I. Вычисление нормальных образований [формулы (1.52) и (1.48)]

$$\Delta = \frac{q}{k} + \frac{2\alpha}{\pi} N_0 + \frac{2\alpha^2}{\pi} M_0 = \frac{q}{k_1} + \frac{2\alpha_1}{\pi_1} f_1(u_1) N_1 + \frac{2\alpha_1^2}{\pi_1} f_2(u_1) M_1 - \frac{2\alpha_1}{\pi_1} f_3(u_1) M_1 + \frac{2\alpha_1^2}{\pi_1} f_4(u_1) P_1 - \frac{2\alpha_1}{\pi_1} f_5(u_1) M_1, \quad (1.52)$$

где N_1 и M_1 - изгибающий силы и момент, действующие в стыковке сечения основного участка с утолщением; P и M_0 - изгибающие силы и момент, действующие на крае утолщенного участка (см. рис. I.9); q - интенсивность расчетной нагрузки оболочки, зависящая от формы оболочки. Для сферической оболочки $q = R_2(1-\alpha)$; для круговой цилиндрической оболочки $q = r(1-4\alpha)$; α и k - параметры линейности изогнутого участка оболочки (I.30); α_1 и π_1 - параметры линейности утолщенного участка оболочки; $f_i(u_i)$ - изгибательные функции аргумента u_i , определяемые по формулам (1.50) и (1.51);

$$u_i = \frac{1.285i}{\sqrt{\pi_1 k}}. \quad (1.53)$$

π_1 и k - радиус кривизны изогнутого сечения, утолщенного

услуги оболочки и ее толщины; L — протяженность утолщенного участка оболочки по меридиану.

2. Угловые перемещения симметрических участков оболочки (формулы (1.37) и (1.49))

$$\begin{aligned} \theta = & \frac{2\alpha_1^2}{K_1} M_1 + \frac{2\alpha_1^2}{K_1} M_2 + \frac{2\alpha_1^2}{K_1} f_1(u_1)M_1 - \frac{2\alpha_1^2}{K_1} f_1(u_1)M_2 + \\ & + \frac{2\alpha_1^2}{K_1} f_1(u_1)P + \frac{4\alpha_1^2}{K_1} f_1(u_1)M_0. \end{aligned} \quad (1.54)$$

После совместного решения уравнений (1.32) и (1.54) определяют условия совместности утолщенного участка оболочки с оболочкой малой толщины (см. рис. 1.9), ограничения размеров

$$\begin{aligned} M_1 = & -0,389\alpha_1 R_0 \left(1 - \frac{R_0}{B_1} \right)^{1/2} \alpha_2 \alpha_3 + \Phi_1 P + \Phi_2 (R_0 B_1)^{-1/2} M_0; \\ M_2 = & 0,389\alpha_1 R_0 B_1 \left(1 - \frac{R_0}{B_1} \right) \alpha_2 \alpha_3 + \Phi_3 (R_0 B_1)^{1/2} P + \Phi_4 M_0, \end{aligned} \quad (1.55)$$

где B_1 , B'_1 — толщины основного и утолщенного участков оболочки,

$$\Phi_1 = -(\alpha_2 \alpha_3 + \alpha_3 \alpha_2)/\alpha_2;$$

$$\Phi_2 = -(\alpha_2 \alpha_3 + \alpha_3 \alpha_2)/\alpha_3;$$

$$\Phi_3 = (\alpha_2 \alpha_3 + \alpha_3 \alpha_2)/\alpha_2;$$

$$\Phi_4 = (\alpha_2 \alpha_3 + \alpha_3 \alpha_2)/\alpha_3.$$

$$\alpha_1 = 1 + \left(\frac{B_1}{B'_1} \right)^{1/2} f_1(u_1);$$

$$\alpha_2 = 1,289 \left[1 - \left(\frac{B_1}{B'_1} \right)^2 f_2(u_1) \right];$$

$$\alpha_3 = 0,3 \left[1 + \left(\frac{B_1}{B'_1} \right)^{1/2} f_3(u_1) \right];$$

$$\alpha_4 = \left(\frac{B_1}{B'_1} \right)^{1/2} f_4(u_1);$$

$$\alpha_5 = 1,289 \left(\frac{B_1}{B'_1} \right)^2 f_5(u_1);$$

$$\alpha_6 = 0,3 \left(\frac{B_1}{B'_1} \right)^{1/2} f_6(u_1);$$

$$\alpha_7 = \alpha_1 \alpha_2 - \alpha_3^2.$$

Реактивные и угловые перемещения наружного края утолщенной волокны определяются из выражений (1.32) и (1.54) после замены в них величин M_1 и M_2 их значениями согласно (1.55):

$$\left. \begin{aligned} \theta = & \frac{\Phi_1}{K_1} \Phi_0 + \frac{2\alpha_1^2}{K_1} \Phi_1 P + \frac{2\alpha_1^2}{K_1} \Phi_2 M_0; \\ \Theta = & -\frac{\Phi_1}{K_1} (R_0 B_1)^{-1/2} \Phi_3 + \frac{2\alpha_1^2}{K_1} \Phi_3 P + \frac{4\alpha_1^2}{K_1} \Phi_4 M_0, \end{aligned} \right\} \quad (1.56)$$

или

$$\left. \begin{aligned} \Phi_0 = & 1 + \left(1 - \frac{B_1}{B'_1} \right) \alpha_2 \left[\alpha_3 \left(\frac{B_1}{B'_1} \right)^{1/2} f_1(u_1) + 1,289 \alpha_2 \frac{B_1}{B'_1} f_2(u_1) \right]; \\ \Phi_3 = & 1,289 \left(1 - \frac{B_1}{B'_1} \right) \alpha_2 \left[\alpha_3 \left(\frac{B_1}{B'_1} \right)^{1/2} f_1(u_1) + 2,57 \frac{B_1}{B'_1} \alpha_2 f_2(u_1) \right]. \end{aligned} \right\} \quad (1.57)$$

$$\left. \begin{aligned} \Phi_1 = & f_1(u_1) + \Phi_2 f_2(u_1) - 1,289 \Phi_2 f_1(u_1) \left(\frac{B_1}{B'_1} \right)^{1/2}; \\ \Phi_2 = & f_2(u_1) + 0,779 \left(\frac{B_1}{B'_1} \right)^{1/2} f_1(u_1) - \Phi_3 f_2(u_1); \\ \Phi_4 = & f_3(u_1) + \Phi_1 f_4(u_1) - 2,57 \Phi_1 f_3(u_1); \\ \Phi_5 = & f_5(u_1) + 0,389 \left(\frac{B_1}{B'_1} \right)^{1/2} f_4(u_1) - \Phi_6 f_5(u_1). \end{aligned} \right\} \quad (1.58)$$

Коэффициенты пропорциональности можно сократить, выразив условия Φ_4 и Φ_5 , которые сокращают из условия совместности перемещений.

Формулы (1.58) являются поправочными коэффициентами к коэффициентам податливости для края полусферической длины постоянного сечения на упругом основании.

При $B_1 < B'_1$ все эти коэффициенты должны равняться. При $B_1 = B'_1$ они обращаются в единицу. По формуле (1.59) следует, что при $B_1 = B'_1$, $\Phi_3 = 1$, а $\Phi_2 = 0$, что и должно быть.

При симметрии изменения отрывистости края утолщенной волокны в средней части круговой панцирной оболочки на ее коэффициенты податливости стоят, что коэффициенты податливости для бесконечно длинной длины на упругом основании, наружной симметрической складкой и моментом в ее средней части, значительно меньше коэффициентов податливости такой же полусферической длины, погруженной складкой и моментом во вспышке. В связи с этим представляют интерес сравнение величин коэффициентов податливости для балок на упругом основании

или неограниченной в ограниченной длине, загруженные силой и моментом изгибаания.

Для балок неограниченной длины согласно (1.40) с учетом (1.44) (см.рис.1.5) коэффициенты изгибаания и угол изгибаания равны

$$\left. \begin{aligned} \Delta &= \frac{\alpha}{2\pi} P ; \\ \theta &= \frac{\alpha^2}{\pi} M , \end{aligned} \right\} \quad (1.61)$$

где Δ - вертикальное перемещение; θ - угол изгибаания.

Для балок ограниченной длины (рис.1.10) согласно изложенному решению (см. [5, с.128, 170])

$$\left. \begin{aligned} \Delta_1 &= \frac{\alpha}{2\pi} P \frac{\cosh \alpha l + \sinh \alpha l - 2}{\sinh \alpha l + \cosh \alpha l} ; \\ \theta_1 &= \frac{\alpha^2}{\pi} M \frac{\cosh \alpha l + \sinh \alpha l + 2}{\sinh \alpha l - \cosh \alpha l} , \end{aligned} \right\} \quad (1.62)$$

где l - длина балки; α и κ - определяют по формуле (1.38).



Рис.1.10. Схема загружения балки ограниченной длины

В табл.1.1 приведены отношения $\frac{\theta_1}{\Delta}$ и $\frac{\theta_1}{\theta}$ в зависимости от параметра αl .

Таблица 1.1

αl	1	2	3	4	5
θ_1/Δ	2,025	1,18	1,09	1,06	1,04
θ_1/θ	12,5	2,12	1,12	1,02	1,015

Как следует из табл.1.1, коэффициенты изгибаания для балок ограниченной длины являются больше коэффициентов изгибаания для балок неограниченной длины. Однако по зер-

енчанию длины балки коэффициенты изгибаания уменьшаются.

При учете, что для симметричных оболочек балки имеют соответствующие значения углов изгибаания, то уменьшается разница в коэффициентах изгибаания с объемной неограниченной длиной.

Важность при исследовании упругих свойств симметричных оболочек коэффициенты изгибаания для ограниченной длины круговой цилиндрической оболочки определяют как для оболочек неограниченной длины, никак только угловой волны.

Приведенные формулы свидетельствуют, что соотношение между угловым и линейным изгибаанием для ограниченной длины круговой угловой волны существует также этого соотношения для индифферентной передатчики.

Представляет интерес также задача расчета круговых цилиндрических оболочек большой длины, рассматриваемых как полу бесконечные балки на упругом основании с загрузками, приложенным вдоль волнистости такой оболочки, но некотором удалении от них. Такие задачи возникают и для определения упругих полуподобий круговых цилиндрических оболочек, проходящих по ортогонально изогнутой длине через конусы сферических или эллиптических передатчиков, с азимутальными передатчиками.

Рассмотрим задачу изгиба круговой цилиндрической оболочки большой пролонгированности под действием симметрических изгибающих, приведенных к ее концам.

1. Сосредоточенная сила T , приложенная на расстоянии l , от конца (см.рис.1.11,а). Для решения задачи отдельной концевой участок оболочки пролонгированности l , с рассматривается как балка на упругом основании конической длины, загруженная на конце сосредоточенной силой T и моментом M . Для отыскания этого оболочки полагают ее конец равнозначимо распределенным на полу бесконечных балки на упругом основании, загруженных на конце силой T и моментом M . Несимметричные элементы δT и M сориентированы в узлах разности вертикальных и угловых перемещений и относительных смещений балки (см.рис.1.11,б). Вертикальные и угловые перемещения балки на упругом основании конической длины выражаются формулами (1.40), а для полу бесконечных балок - формулами (1.37).

Уголок равнотка вертикальных и угловых перемещений в рассматриваемой задаче (см. рис. I.II.6) имеет вид:

$$\left. \begin{aligned} w(l_1) &= \frac{2\alpha^2}{\kappa} \{ f_2(u)M + \frac{2\alpha}{\kappa} f_3(u)AT - \frac{2\alpha^2}{\kappa} M + \frac{2\alpha}{\kappa} (T-AT) \}, \\ w'(l_1) &= \frac{4\alpha^3}{\kappa} \{ f_2(u)M + \frac{2\alpha^2}{\kappa} f_3(u)AT - \frac{4\alpha^3}{\kappa} M + \frac{2\alpha^2}{\kappa} (T-AT) \}. \end{aligned} \right\} \quad (I.63)$$

Решение этой системы уравнений дает

$$M = -\frac{T}{\alpha} (f_2(u) + f_3(u)) / \varphi_0(u); \quad (I.64)$$

$$AT = T(2f_2(u) + f_3(u) + 1) / \varphi_0(u). \quad (I.65)$$

Подставляя полученные выражения M и AT в выражение (I.63), находим радиальное перемещение и угол поворота в месте приложения силы T рассматриваемой оболочки (см. рис. I.II.6)

$$\left. \begin{aligned} w(l_1) &= \frac{2\alpha}{\kappa} T \varphi_0(u); \\ w'(l_1) &= -\frac{2\alpha^2}{\kappa} T \varphi_0(u), \end{aligned} \right\} \quad (I.66)$$

где α — коэффициент из формулы (I.11); u — аргумент, равный

$$u = \frac{1.2333}{\sqrt{\kappa}}. \quad (I.67)$$

$\varphi_0(u), \varphi_1(u)$ и $\varphi_2(u)$ — функции аргумента u , определяющие выражение

$$\left. \begin{aligned} \varphi_0(u) &= 2(f_2(u)+1)(f_3(u)+1) - (f_3(u)-1)^2; \\ \varphi_1(u) &= [f_2(u)(2\varphi_0(u)+1) - f_3^2(u)] / \varphi_0(u); \\ \varphi_2(u) &= [2f_2(u)f_3(u) - f_2(u)(f_3(u)+1)] / \varphi_0(u). \end{aligned} \right\} \quad (I.68)$$

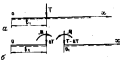


Рис. I.II. Схема приложения элемента конца оболочки построенной задачи (a); схема в определении усилий в элементе (b).

Вспомогательные функции $f_i(u)$ определяются по формулам (I.48) и (I.49) в табл. I приведенных. Итоговый момент, действующий над сечкой, выходит по выражению (I.64).

По мере увеличения противоположности концевого участка оболочки l_1 , в соответствии с аргументом u величины радиальных перемещений $w(l_1)$,угла поворота $w'(l_1)$, спредвигов $w''(l_1)$ по формуле (I.66), а момента M (I.64) строятся в своих предельных значениях:

$$w(l_1) = \frac{a}{2\kappa} T; \quad w'(l_1) = 0; \quad M = -0.195 T \sqrt{\kappa}. \quad (I.69)$$

3. Осредненный момент $M_{\text{ср}}$, приложенный на расстоянии l_1 от конца (рис. I.II.8). Для решения задачи ставится концевой участок оболочки противоположности l_1 , в рассматриваемой гипотезе являющейся оболочкой, как балка на упругом основании конечной длины, загруженная на конце изгибающим моментом M и моментом dM (рис. I.II.8,б). Для оставшейся части оболочки задается из нее элемент рассматриваемой как полубесконечной балки на упругом основании, загруженной на конце сдвигом M и моментом $M_{\text{ср}}-dM$.



Рис. I.II.8. Осредненный момент, действующий оболочке конца оболочки (a); схема в определении усилий в элементе (б).

На основе одинаковых условий равнотка вертикальных и угловых перемещений соприкосновения балок, соответствующими (I.63), после решения полученной системы уравнений, найдены радиальное перемещение и угол поворота изогнутого сечения рассматриваемой оболочки (см. рис. I.II.8,б):

$$\left. \begin{aligned} w(l_1) &= -(2\alpha^2/\kappa) M \varphi_0(u); \\ w'(l_1) &= (4\alpha^3/\kappa) M \varphi_0(u). \end{aligned} \right\} \quad (I.69)$$

24

где $\psi_1(u)$ и $\psi_2(u)$ - функции аргумента u , определяющие выражения (1.60) и (1.70):

$$\psi_2(u) = \left[f_2(u)(2f_1(u)+1) - f_1^2(u) \right] / \psi_1(u). \quad (1.70)$$

В стыковом сечении оболочки выражение силы

$$N = -M \cdot 2\alpha (f_1(u) + f_2(u)) / \psi_2(u). \quad (1.71)$$

Изгибающий момент, воспринимаемый концами участков оболочки (см. рис. I.12, б),

$$\Delta M = M(2f_1(u) + f_2(u) + 1) / \psi_2(u). \quad (1.72)$$

Предельные значения для величин, определяющих формулы (1.69), (1.71) и (1.72) при изгибе конца аргумента u

$$w(l_1)=0; w'(l_1)=\frac{Q}{E} l; N=-M \cdot \frac{\alpha}{2}=-0,642 \frac{M}{\sqrt{3}}; \Delta M=0,5 M.$$

3. Равномерно распределенные нагрузки действуют на концевой участок оболочки протяженности l_1 , торец сечения которого закреплен скобами узлов (рис. I.13, а).

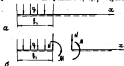


Рис. I.13. Равномерная нагрузка, действующая оболочкой конца оболочки (а), скобами в определенных узлах* взаимодействия (б)

Решение этой задачи выражается так же, как и двух предыдущих, с отрыванием концевого участка и определением усилий в стыковом сечении (рис. I.3, б).

В результате возьмут равнозначные выражения к углу поворота сечения, ограничивающие изгибающий участок оболочки

$$\left. \begin{aligned} w(l_1) &= (l_1/u)(1 - \psi_1(u)); \\ w'(l_1) &= -(2\alpha/u)\psi_2(u); \end{aligned} \right\} \quad (1.73)$$

25

$$\left. \begin{aligned} Q &= p \left(1 - \frac{u}{L} \right); \\ M &= \frac{EP}{EJ} u; \end{aligned} \right\}$$

(1.74)

$\psi_1(u)$ и $\psi_2(u)$ - функции аргумента u , определяющие равенства

$$\left. \begin{aligned} \psi_1(u) &= (2f_2(u) - f_1(u) + 1) / \psi_2(u); \\ \psi_2(u) &= (f_1(u) + f_2(u)) / \psi_1(u); \end{aligned} \right\} \quad (1.75)$$

Выражения силы и изгибающий момент в сечении, разделяющем изгибающий участок оболочки от низагруженного,

$$\left. \begin{aligned} N &= -\frac{Q}{\alpha} (f_1(u) + 1) / \psi_1(u); \\ M &= \frac{Q}{2\alpha^2} (f_1(u) - 1) / \psi_2(u); \end{aligned} \right\} \quad (1.76)$$

Предельные значения для величин, определяющих равенства (1.73) и (1.76):

$$\left. \begin{aligned} w(l_1) &= \frac{Q l^2}{2EJ} = \frac{Q l^2}{2EJ}; \\ w'(l_1) &= -\frac{\alpha}{L} Q = -\frac{0,642 l^2}{EJ \sqrt{3}} Q; \\ N &= -\frac{Q}{4\alpha} = -0,195 Q \sqrt{3}; \\ M &= 0. \end{aligned} \right.$$

4. Равномерно распределенные нагрузки действуют на это оболочку, концы ее соединены на расстоянии l_1 (рис. I.14, а). Равнозначное выражение к углу поворота сечения, ограничивающее свободный от нагрузки участок оболочки,

$$\left. \begin{aligned} w(l_1) &= \frac{Q}{E} \psi_1(u); \\ w'(l_1) &= \frac{2\alpha}{E} Q \psi_2(u); \end{aligned} \right\} \quad (1.77)$$

Выражения силы и изгибающий момент в сечении, разделяющем изгибающий участок оболочки от низагруженного (рис. I.14, б),

$$\left. \begin{aligned} N &= \frac{Q}{\alpha} (f_1(u) + 1) / \psi_1(u); \\ M &= -\frac{Q}{2\alpha^2} (f_1(u) - 1) / \psi_2(u); \end{aligned} \right\} \quad (1.78)$$

Проверим значение для высоты, определенное различными (1.77) и (1.78).

$$w(l_1) = \frac{q}{2K} = \frac{q r^2}{2E\delta}; \quad w'(l_1) = \frac{\alpha}{2K} q = \frac{0.642 r^2}{E\delta \sqrt{r\delta}} q;$$

$$N = \frac{q}{4\alpha} = 0.195 q \sqrt{r\delta}; \quad N=0.$$

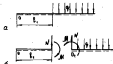


Рис.1.14. Радиальная нагрузка, действующая по всей оболочке на исключении усадки зоны роста (а); схема к определению усадки полизадоботки (б)

Поправочные коэффициенты к коэффициентам поправки по зоне полизадоботки формулы - функции $\varphi_1(u)$ - приведены в табл.2 тракторах.

Табл.2. Поправка к коэффициенту поправки по зоне полизадоботки в зависимости от различных условий

§ 4. Определение усадки полизадоботки утолщенного при сферической полизадоботке тареборки с полизадоботкой оболочки корпуса сосуда

Полизадоботки тареборки представляют собой сферический сектор с утолщенным зонтом по его контуру. Гладящий зонт выполняется в виде утолщенного конуса (с промежуточной оболочкой). Тонкую зонту и гладящему зонту утолщенного зонта в зоне прочного корпуса разве подвижному углу при сферической оболочки по окружности не привинчиваются к утолщенному зон-

ту. В связи с тем, что гладящие радиусы краев зон полизадоботки (утолщенного зонта) ее полизадоботки сечений ограждаются от перемещениями, характеризующими в пределах (рис.2.1)

$$r < R_1 < r/\sin \psi,$$

где R - радиус сферической оболочки; r - радиус полизадоботки; ψ - подвигущий угол при сферической оболочке, определяется расчетным средним радиусом края зон полизадоботки по формуле

$$R_1 = R_{cr} = \frac{1}{2} \left(\frac{r}{\sin \psi} + R \right). \quad (2.1)$$



Рис.2.1. Схема сферической полизадоботки тареборки

Расчет полизадоботки тареборки выполняется для случая нагрузки на оболочку при внутреннем давлении в зоне стыка корпушки и зонами давления из состояний с одинаковыми

Для определения усадки полизадоботки тареборки с оболочкой корпушки используется расчетная схема, показанная на рис.2.3, в которой изложена нагрузка, соответствующая балансовому состоянию сферической оболочки, и изложены дополнительные направления усадки полизадоботки рассмотренными способами.

Задача полизадоботки сферической оболочки и полизадоботки оболочки корпушек определяется из условия равенства ре-

длинных периметров в плоскости круга подтверждены упругими периметрами сферических оболочек.



Рис. 2.2. Расчетная схема нагрузки сферической перегородки

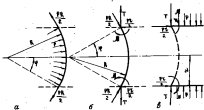


Рис. 2.3. Схемы и определение условий замкнутости сферической перегородки с симметрией коробки: а - фундаментные соотношения сферической оболочки; б - условия на контуре перегородки; в - нагрузка, действующая на симметрическую коробку

При определении перемещений плоскострессовой оболочки предполагают, что вся плоскострессовая оболочка имеет одинаковую толщину, а для сферической перегородки учитывается периметр ее толщины, рассмотренный в § 3.

Бесконечными предполагают радиальное перемещение при

изменении его в симметрии, угловое — при изменении по часовой стрелке (см. верхнее часть рис. 2.3). Формулы для перемещений записаны на основании выражений § 3.

Радиальное перемещение края сферической перегородки

$$\delta_{\text{ср}} = - \frac{rB_1^2}{2EB_0} (1-\delta) \Phi_0 \sin \varphi + \left(T - \frac{rB_1^2}{2} \cos \varphi \right) \frac{2\alpha_1}{K_1} \Phi_1 \sin^2 \varphi - \frac{2\alpha_1}{K_1} \Phi_2 \sin \varphi , \quad (2.2)$$

где φ — полярный угол края сферической перегородки; r — радиус длины; T, M — вертикальное усилие и момент, возникающие от плоскострессовой оболочки; Φ_0 , Φ_1 и Φ_2 — нормальные коэффициенты в коэффициентах изгибающейся, определенные по формулам (1.59) и (1.60); $\alpha_1 = 1,285/\sqrt{E_0 B_0}$; $K_1 = 6.8'/R_1^2$; δ_1 , δ_1' — толщина сферической перегородки и толщина ее утолщенного участка.

Угловое перемещение края утолщенной кромки сферической перегородки

$$\theta_{\text{ср}} = - \frac{rB_1^2}{2EB_0} (1-\delta)(R_1 \delta_1)^{-1/2} \Phi_0 + \frac{2\alpha_1^2}{K_1} \Phi_1 \left(T - \frac{rB_1^2}{2} \cos \varphi \right) \sin \varphi + \frac{4\alpha_1^2}{K_1} \Phi_2 M , \quad (2.3)$$

где Φ_0 , Φ_1 и Φ_2 — нормальные коэффициенты, определенные по формулам (1.59) и (1.60).

Радиальное и угловое перемещения утолщенной кромки плоскострессовой оболочки, рассматриваемой как симметрия на упругом основании неограниченной длины, определяются по формулам (1.41) и (1.46):

$$\delta_{\text{ср}} = \frac{rB_1^2}{2EB_0} \left(1 - \frac{\delta}{2} \right) + \frac{\alpha_1}{2K_0} T ; \quad (2.4)$$

$$\theta_{\text{ср}} = \frac{\alpha_1}{2K_0} r \left(1 - \frac{\delta}{2} \right) - \frac{\alpha_1^2}{K_0} M , \quad (2.5)$$

где δ_0' — толщина утолщенного торца плоскострессовой оболочки;

$$\alpha_0 = 1,285/\sqrt{E_0 B_0} ; \quad K_0 = EB_0/r^2 . \quad (2.6)$$

Применяя выражения (2.2) и (2.4), а также (2.3) и

(2.6), получим выражение для определения усилий компонентов Т и Н. Решением этих уравнений является

$$\left. \begin{aligned} T &= \frac{\bar{B}_1 \bar{B}_3 - \bar{B}_2 \bar{B}_4}{\bar{B}_1 \bar{B}_3 + \bar{B}_2 \bar{B}_4} p \sqrt{\bar{B}_2 \bar{B}_4}; \\ H &= \frac{\bar{B}_1 \bar{B}_3 - \bar{B}_2 \bar{B}_4}{\bar{B}_1 \bar{B}_3 + \bar{B}_2 \bar{B}_4} pr \sqrt{\bar{B}_2 \bar{B}_4}. \end{aligned} \right\} \quad (2.7)$$

$$\left. \begin{aligned} \bar{B}_1 &= 2,57 \left(\frac{R_2}{r} \right)^2 \psi_1 \sin^2 \varphi + 0,342 \left(\frac{R_1}{R_2} \right)^{1/2} \left(\frac{R_2}{r} \right)^{1/2}, \\ \bar{B}_2 &= 3,5 \frac{R_2}{r} \left(\frac{R_1}{R_2} \right)^{1/2} \psi_1 \sin \varphi; \\ \bar{B}_3 &= 0,46 \frac{R_2}{\psi_1} \psi_1 + 2,12 \left(\frac{R_1}{r} \right)^{1/2} \frac{r}{R_2} \left(\frac{R_1}{R_2} \right)^{1/2}; \\ \bar{B}_4 &= 1,285 \frac{R_2}{r} \left(\frac{R_1}{R_2} \right)^{1/2} \psi_1 \cos \varphi \sin \varphi - \\ &- 0,35 \left(\frac{R_1}{r} \right)^2 \psi_1 \sin \varphi - 0,425 \left(\frac{R_1}{R_2} \right); \\ \bar{B}_5 &= 0,35 \frac{R_2}{r} \left(\frac{R_1}{R_2} \right)^{1/2} \psi_1 + 0,346 \frac{R_1}{\psi_1} \left(\frac{r}{R_2} \right)^{1/2} + \\ &+ 1,65 \frac{R_2}{\psi_1} \psi_1 \cos \varphi. \end{aligned} \right\} \quad (2.8)$$

Чтобы определить значения Т и Н необходимо для каждого предположения начального пренебречь выполнением условий равенства (2.2) и (2.4).

Растяжение выражают определяются по следующим формулам. В утолщенных конусах сферической переборки в конических сечениях

$$S_1' = \frac{T \cos \varphi + 0,5 pr \sin \varphi}{B_1'} \pm \frac{H M}{B_1'^2}, \quad (2.9)$$

в цилиндрических сечениях

$$S_2' = -\frac{E h}{r} + \pm S_1', \quad (2.10)$$

где \pm определяются формулой (2.2).

Для выполнения расчетных выражений в сечениях цилиндрической оболочки выполняются условия исходящих моментов в цилиндрической оболочке по обе стороны от утолщенной переборки с помощью формул (1.42) и (1.43).

Изгибающий момент в поперечном сечении цилиндрической оболочки слоя от утолщенной переборки (см. рис. 2.30)

$$M_1 = -0,195 T \sqrt{B_2} - 0,5 M \quad (2.11)$$

и симма от нее

$$M_2 = -0,195 T \sqrt{B_2} + 0,5 M. \quad (2.12)$$

Нормальные напряжения в поперечных сечениях цилиндрической оболочки слоя от утолщенной переборки

$$S_1' = \pm \frac{6 M_1}{B_1'^2} \quad (2.13)$$

и симма от нее

$$S_2' = -\frac{pr}{2 B_1'} \pm \frac{6 M_2}{B_1'^2}. \quad (2.14)$$

Нормальные напряжения в продольных сечениях цилиндрической оболочки определяют по формуле (2.10).

Для вычисления изгибающей в конусах переборки на предположении ее утолщенного конуса следует определять усилия компонентов утолщенного конуса переборки с листами переборки на предположении утолщенного конуса по формулам (1.56). Согласно этим формулам определяют изгибающий момент в перекрывающую слою в стыковом сечении (M_1 и M_2).

Расчетные выражения в листе переборки

$$S_1' = \frac{p R}{2 B_1} \pm \frac{6 M_1}{B_1^2}, \quad (2.15)$$

где R – радиус сферы; B_1 – толщина листов переборки на предположении утолщенного конуса.

По мере удаления от стыкового сечения изгибающий момент в конических сечениях сферической переборки изменяется согласно формуле

$$M_1(x) = M_1 \frac{W_1(x, \alpha)}{\alpha} - M_1 \sqrt{2} W_2(x, \alpha), \quad (2.16)$$

где $\alpha = 1,285/\sqrt{B_2}$; $W_1(x, \alpha)$ и $W_2(x, \alpha)$ – функции Бесселя аргумента (x, α) ; x – отстоящееся по меридиану от стыкового сечения.

Балансовый момент по формуле (2.16) можно дать определение для коэффициента α в том же выражении избыточного момента $M(x)$:

Балансовый момент в изогнутых сечениях цилиндрической оболочки со стороны восприятия избыточной передачи выражается по формуле

$$M(x) = 0,125T\sqrt{\pi R_0} \sqrt{2} M_1(x\alpha) - 0,5 M_2(x\alpha), \quad (2.17)$$

$$\text{так } \alpha = 1,285/\sqrt{\pi R_0}.$$

После определения избыточного момента для отдельного сечения утолщенного полса цилиндрической оболочки с оболочкой конической формы должна быть найдена расчетная характеристика в этом сечении по формуле

$$\Omega_1 = t \frac{B M(x)}{R_0} + \frac{r r}{2 R_0}, \quad (2.18)$$

где R_0 – толщина оболочки на продольном утолщенном полсе.

Для определения прочности утолщенного полса, края сферической передоры по ширине и утолщенной цилиндрической оболочки по обе стороны от изогнутого сечения их соединяют друг с другом в первом приближении следует использовать формулы

$$l_1 = \sqrt{R_0 B},$$

где l_1 – прочность утолщения; R_0 – радиус края конического сечения оболочки; B – толщина утолщенного полса.

§ 5. Расчет соединения конической оболочки с краем сферической передоры

Соединение конической сферической передоры с конической оболочкой корпуса осуществляют таким, для этого, так, что изогнувшись к краю конической оболочки у контура ее проекционной к конической оболочке совпадает с сферической передоры. Схема влияния взаимодействия сферической передоры с конической оболочкой изображена на рис. 2.4.

Также взаимодействие определяет по условиям равнотяже-

рительное перемещение в направлении радиуса обода и условия параллельной соединения оболочек.

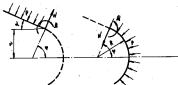


Рис. 2.4. Схема влияния взаимодействия конической сферической передоры с конической оболочкой оболочки корпуса.

Равнотяжелое перемещение края конической оболочки подчиняется в направлении радиуса к оси оболочки согласно (1.27) и (1.39):

$$w_1 = \frac{PR^2}{EB} \left(1 - \frac{r}{R}\right) - \frac{2,57R^2}{65\sqrt{RB}} N + \frac{1,3R}{EB^2} M, \quad (2.19)$$

где R – радиус обода (радиус конического сечения конической оболочки в месте соединения со сферической оболочкой); B – толщина конической оболочки; r – радиус длины; N , M – равнотяжелые усилия в узловом моменте в сопряженном сечении.

Статическое перемещение края конической оболочки подчиняется при краевом по часовой стрелке

$$\Omega_1 = -\frac{3,3R}{EB^2} N + \frac{8,43R}{65\sqrt{RB}} M. \quad (2.20)$$

Равнотяжелое в узловом перемещении края сферической оболочки согласно (1.22) и (1.39)

$$w_2 = \frac{PR^2}{2EB} \left(1 - \frac{r}{R}\right) + \frac{2,57R^2}{EB_1\sqrt{RB_1}} N + \frac{1,3R}{EB_1^2} M; \quad (2.21)$$

$$\Omega_2 = -\frac{3,3R}{EB_1} N - \frac{8,43R}{65\sqrt{RB_1}} M. \quad (2.22)$$

так θ_1 — толщина сферической оболочки.

На разности выражений (2.19) и (2.21), а также (2.20) и (2.22) сливут

$$\left. \begin{aligned} N &= \frac{\alpha_2 \alpha_4}{\alpha_1 \alpha_3 - \alpha_2^2} PR; \\ M &= -\frac{\alpha_2 \alpha_3}{\alpha_1 \alpha_3 - \alpha_2^2} PR^2. \end{aligned} \right\} \quad (2.23)$$

$$\left. \begin{aligned} \alpha_1 &= 2,57 \sqrt{\frac{R}{G_1}} \left[1 + \left(\frac{R_1}{R} \right)^{1/2} \right]; \\ \alpha_2 &= 3,3 \frac{R}{G_1} \left(1 - \frac{R_1}{R} \right); \\ \alpha_3 &= 6,48 \left(\frac{R}{G_1} \right)^{1/2} \left[1 + \left(\frac{R_1}{R} \right)^{1/2} \right]; \\ \alpha_4 &= \frac{R_1}{R} \left(1 - \frac{R_1}{R} \right) - \frac{1-R_1}{2}. \end{aligned} \right\} \quad (2.24)$$

После вычисления величин напряжения N и M по формулам (2.23) можно быть вспомогательных выражений $W_1 = W_2$ и $\Phi_1 = \Phi_2$.

Нормальные напряжения в стыковом сечении конической оболочки определяют по формуле:

в колышевом сечении:

$$\sigma_1 = -\frac{PR}{2R} \pm \frac{RM}{8t}; \quad (2.25)$$

в продольном сечении

$$\sigma_2' = -\frac{E W_1}{R} + \epsilon \sigma_1'; \quad (2.26)$$

где W_1 — находит из выражения (2.19).

Расчетные выражения в таих же сечениях сферической оболочки определяют по формулам (2.26) и (2.26), в которых вместо G принимается θ_1 . Следует заметить, что эти толщины могут отличаться, поскольку из соображений устойчивости толщина сферической оболочки может быть больше толщины конической оболочки.

Благодарий момент и разложение перемещения сферической оболочки изменяются по мере удаления от стыкового сечения и это выражено в соответствии с формулами (1.37).

Благодарий момент определяют по выражению

$$M(x) = -\frac{N}{\alpha} W_1(\alpha x) + M \sqrt{2} W_1(\alpha x), \quad (2.27)$$

где $\alpha = 1,285/\sqrt{R_1}$; $W_1(\alpha x)$ — функция Крамера; x — отстояние рассматриваемого сечения от стыкового, измеренное по радиусу.

Для определения различных перемещений следует использовать формулы

$$w(x) = \frac{PR^2}{2EJ_1} (1-\epsilon) + \frac{2,57 R^2}{EJ_1 \sqrt{R_1}} N W_1(\alpha x) + \frac{3,3R}{EJ_1} M \sqrt{2} W_1(\alpha x). \quad (2.28)$$

Расчет показывает с помощью табл. 2.1.

Таблица 2.1

x	αx	$W_1(\alpha x)$	$\Delta W_1(\alpha x)$	$W_1(\alpha x)$	$\delta W_1(\alpha x)$	$M(x)$	$w(x)$	σ_1'	σ_2'

Расчетные выражения в сечениях оболочки, удаленных от стыкового сечения, определяют по формулам (2.26) и (2.26).

Благодарий момент и различные перемещения в конической оболочке с учетом выражения упругой в стыковом сечении (см. рис. 2.4) находят по выражениям:

$$M(x) = -\frac{N}{\alpha} W_1(\alpha x) + M \sqrt{2} W_1(\alpha x); \quad (2.29)$$

$$w(x) = \frac{PR^2}{EJ_1} \left(1 - \frac{x}{L} \right) - \frac{2R}{E} NW_1(\alpha x) - \frac{2x^2}{E} MW_1(\alpha x). \quad (2.30)$$

Следует иметь в виду, что формулы (2.29) и (2.30) можно применять только для ограниченного участка длины от стыкового сечения в предположении постоянства параметров жесткости конической оболочки. Будет считать, что для расчетов должна быть отражена величина $(1,5-2,0)\sqrt{R}$, где R — радиус симметрии конического сечения оболочки.

Расчетные выражения в сечениях конической оболочки, удаленных от стыкового сечения, определяют по следующим формулам:

в колышевом сечении

$$\sigma_1' = -\frac{PR}{2R \cos \alpha} \pm \frac{6M(x)}{8t}, \quad (2.31)$$

$$\bar{r} = (a^2/h^2) - 1 = 3,$$

где \bar{r} – радиус основания эллиптического днища; h – его высота.

Предполагая, что эллиптическое днище присоединяется к цилиндрическому корпусу с постоянным радиусом, при определении радиуса кривизны эллиптической оболочки у ее основания угол, образованный нормалью к меридиану и осью оболочки, должен быть равен $0,5\pi$. Отсюда радиус кривизны меридиана у основания эллиптического днища согласно (1.33)

$$R_1 = \frac{a(1+\bar{r})^{1/2}}{(1+\bar{r}\sin^2\varphi)^{1/2}} = \frac{a(1+3)^{1/2}}{(1+3)^{1/2}} = \frac{a}{4}, \quad (2.36)$$

где R_1 – радиус кривизны меридиана у основания днища; φ – угол, образованный нормалью к меридиану и осью оболочки ($\varphi = 0,5\pi$).

Радиус кривизны колышевого сечения по формуле (1.34)

$$R_2 = \frac{a(1+\bar{r})^{1/2}}{(1+\bar{r}\sin^2\varphi)^{1/2}} = a. \quad (2.37)$$

Схема условий возникновения эллиптической колышевой перегородки с круговой цилиндрической оболочкой корпуса показана на рис.2.5.



Рис.2.5. Схема условий возникновения эллиптической колышевой перегородки с круговой цилиндрической оболочкой корпуса

Рассмотрим радиусное значение параметра. В предложенном решении коэффициент жесткости упругого основания эллиптической оболочки у ее контура определяется минимальным радиусом кривизны колышевого сечения, учтены

здесь α – угол изгибают колышевой оболочки (см.рис.2.4); в проекции сечения

$$\Theta_0 = -\frac{Ew(x)}{r} \tan\alpha + \Theta_1. \quad (2.38)$$

Для расчета сопротивления колышевой оболочки с колышевой перегородкой предполагают интерес случая разности толщин оболочки и колышевой оболочки ($\delta_0=0$). В этом случае, как следует из выражений (2.20) и (2.22), $M=0$, а из формул (2.19) и (2.21)

$$N = 0,008pr\sqrt{R\delta}. \quad (2.39)$$

Наибольший изгибющий момент в стыковых оболочках определяют на основании условия

$$\frac{dM(x)}{dx} = -\frac{N}{\alpha} \frac{d}{dx}(W_1(\alpha x)) = -\frac{N}{\alpha} \sqrt{2} \alpha W_1'(\alpha x) = 0,$$

отсюда согласно (1.14) следует $\alpha x = 0,25\pi$ и

$$W_1^{(0)}(x) = -\frac{N}{\alpha} W_1(0,25\pi) = 0,25 N \sqrt{R\delta} = 0,024 pr\delta. \quad (2.40)$$

Наибольший изгибющий момент возникает на расстоянии x_0 от стыкового сечения, определяемого равенством

$$x_0 = \frac{0,25\pi}{\alpha} = 0,61\sqrt{R\delta}. \quad (2.41)$$

§ 6. Расчет сопротивления колышевой перегородки с цилиндрической оболочкой корпуса посуды

Эллиптические колышевые перегородки представляют собой поверхности эллиптической кривизны. Такие перегородки получают широкое распространение в корабельных разностях сечений судов с простотой и легкостью методом штамповки.

Наиболее распространены колышевые эллиптические перегородки с отношением радиуса основания к высоте, равном двум, при котором расчетный параметр эллиптической оболочки \bar{r} , определенный формулой (1.32), равен

$$R_2 = \alpha \times r^2, \quad (2.38)$$

где r - радиус цилиндрической оболочки.

Согласно уравнению (2.36) радиальные перемещения при эпипаритической передорожке определяются равенством

$$w_0 = \frac{pr^2}{EB_1} \left(1 - \frac{r}{2} - \frac{\theta_0}{E} \right),$$

с учетом (2.36)-(2.38)

$$w_0 = - \frac{pr^2}{2EB_1} \left(2 + \frac{r}{2} \right), \quad (2.39)$$

где B_1 - толщина эпипаритической передорожки.

Как следует из формулы (2.39), радиальное перемещение из начального решения уравнения (2.36) отрицательно - направление в сторону, противоположную нагрузке.

Для определения условий эпипаритической оболочки с сопротивлением эпипаритического днища уравнения разделяются и условия перемещения на контуре соединения оболочек.

Радиальные и угловые перемещения для цилиндрической оболочки

$$\left. \begin{aligned} w_1 &= \frac{pr^2}{EB} \left(1 - \frac{r}{2} \right) - \frac{2,57r^2}{EB\sqrt{B}} N + \frac{3,3r}{EB^2} M; \\ \theta_1 &= - \frac{3,3r}{EB^2} N + \frac{8,46r}{EB^2\sqrt{B}} M, \end{aligned} \right\} \quad (2.40)$$

где B - толщина цилиндрической оболочки; N и M - перерезывающий силы и изгибющий момент в стыковом сечении оболочки, положительное направление которых показано на рис. 2.5.

Радиальные и угловые перемещения при эпипаритическом с учетом (2.39)

$$\left. \begin{aligned} w_1 &= - \frac{pr^2}{2EB} \left(2 + \frac{r}{2} \right) + \frac{2,57r^2}{EB\sqrt{B}} N + \frac{3,3r}{EB^2} M; \\ \theta_1 &= - \frac{3,3r}{EB^2} N - \frac{8,46r}{EB^2\sqrt{B}} M. \end{aligned} \right\} \quad (2.41)$$

За исключение условий $w_1 = w_0$ и $\theta_1 = \theta_0$ получим

$$\left. \begin{aligned} N &= \frac{\alpha_1 \alpha_2}{\alpha_1 \alpha_3 - \alpha_2^2} pr^2; \\ M &= \frac{\alpha_2 \alpha_3}{\alpha_1 \alpha_3 - \alpha_2^2} pr^2; \end{aligned} \right\} \quad (2.42)$$

$$\left. \begin{aligned} \alpha_1 &= 2,57 \sqrt{\frac{r}{B_1}} \left[1 + \left(\frac{B_1}{B} \right)^{1/2} \right]; \\ \alpha_2 &= 3,3 \frac{r}{B_1} \left(1 - \frac{B_1^2}{B^2} \right); \\ \alpha_3 &= 8,46 \left(\frac{r}{B_1} \right)^{1/2} \left[1 + \left(\frac{B_1}{B} \right)^{1/2} \right]; \\ \alpha_4 &= \frac{B_1}{B} \left(1 - \frac{r}{2} \right) + 1 + \frac{r}{B}. \end{aligned} \right\} \quad (2.43)$$

После логарифмации выражений N и M одновременно выполняются условия - равенства перемещений.

Расчетные напряжения в стыковом сечении цилиндрической оболочки:

в поперечном сечении

$$S_1' = - \frac{pr}{2B} + \frac{6N}{B^2}; \quad (2.44)$$

в продольном сечении

$$S_2' = - \frac{EW_1}{r} + 4S_1'; \quad (2.45)$$

где w_1 - определяется по формуле (2.40).

Расчетные напряжения в стыковом сечении эпипаритического днища:

в поперечном сечении

$$S_1' = - \frac{pr}{2B_1} + \frac{6M}{B_1^2};$$

в продольном сечении

$$S_2' = - \frac{EW_1}{r} + 4S_1'.$$

Изгибющий момент и радиальные перемещения цилиндрической оболочки изменяются по мере удаления от стыкового сечения по формулам

$$\left. \begin{aligned} M(x) &= \frac{N}{\alpha} W_1(\alpha x) + M\sqrt{B} W_2(\alpha x); \\ w(x) &= \frac{pr^2}{2B} \left(1 - \frac{x}{2} \right) + \frac{2B\alpha}{\alpha} W_1(\alpha x) + \frac{2B\alpha^2}{\alpha} \sqrt{B} W_2(\alpha x). \end{aligned} \right\} \quad (2.46)$$

где π - расстояние рассматриваемого сечения от отвесного; $W_0(x,y)$ - функция Гаусса.

Вычисление корней можно ведти с помощью вычислительных языков на базе языка [3-46] аналогично с помощью табл. 3-1.

§ 7. Рассчет соединения конусов сферической пареборки с плоскостной оболочкой корпуса сосуда посредством тонкосстенной вставки

Современное краинное сферическое переборка, выполненной в виде сферического сегмента, с геометрической обечайкой которую придают к необходимости концентрических утолщений краевого участка сопротивления обечайки, что вызывает излишнюю теплоизолирующую толщину. Для устранения этого недостатка в позднее время широко практикуется соединение краинной сферической переборки с краинами колышевым или геометрическим участком коридора посредством торообразной вставки. Такие конструкции встречаются в различных разрезах, выполненных концентрическими сегментами, и называются тороборонными вставками.

Конструкция схемы промышленного очистного комплекса с фильтрской измельчения, соединенной с циклонической обработкой и сортировкой посевных горохобобовых растений, показана рис. 2.5.

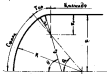


Рис. 3.4. Схема создания копиейной фурнитуры
переворот с циклической оболочкой через
помощь пленки

Рассмотрим условие взаимодействия сопротивлений между собой симметрической оболочки и тела в подложке с симметрической

лической оболочки (рис.2.7). Видимо, что приложенная норма предъявляет certainыу рисунка торовой вставки, называемая из представления торовой оболочки в виде балки на упругом основании с постоянным коэффициентом жесткости, может быть выполнена только при определенных ограничениях в характеристиках тангенциальной оболочки. В качестве главного ограничения для торовой вставки принимается противодействие ее по нормали. Для коротких торовых вставок поперечный радиус кривизны является негативным [4], что и позволяет считать коэффициент жесткости упругого основания для балки-половинки, подложенной торовой вставкой, постоянным.

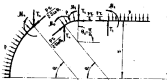


Рис. 2.7. Схема к определению условий размножения открытых участков обитания торсоярусных лесорекорд

Для отражения известных условий конечной задачи из приведенных образцов можно воспользоваться одним из трех предложенных различных вариантов в узле приема и передачи изображений образов (см. рис. 3.7). При этом изображение сконструировано с помощью коэффициентов T_1, M_1, T_2, M_2 .

Погашение на склонах горного участка длины, включая
расстояние от балки до уступом обнаженного отложений земли,
зарытой от ущелий, простирающихся на обеих концах этого участка,
что и указывается в приведенных выше выражениях.

Различия различиях в углах вершинки и стыков сопряжения обширного участка земля с городом могут быть (см. рис. 2, 7) имеют вид:

$$\begin{aligned} w_1 &= \frac{p R^2}{2 E} \left(1 - \frac{r}{2}\right) \sin \theta_1 + \frac{2.57 R^2}{E E' \sqrt{c}} T_0 \sin^2 \theta_1 + \frac{3.3 R}{E E'} M_0 \sin \theta_1 + \frac{p R^2}{E E'} \left(1 - \frac{r}{2}\right) - \\ &- \frac{T_{0R}}{E R_0} \sin \theta_{0P} - \frac{2.57 R^2}{E E' \sqrt{c}} T_0 f_1(u) \sin^2 \theta_1 - \frac{2.57 R^2}{E E' \sqrt{c}} T_1 f_1(u) \sin \theta_1 + \\ &+ \frac{3.3 R}{E E'} M_0 f_1(u) \sin \theta_1 - \frac{3.3 R}{E E'} M_1 f_1(u) \sin \theta_1; \quad (2.47) \end{aligned}$$

$$\begin{aligned} w_1 &= \frac{3.3 R}{E E'} T_0 \sin \theta_1 + \frac{8.48 R}{E E' \sqrt{c}} M_0 = \frac{3.3 R}{E E'} T_0 f_1(u) \sin \theta_1 - \frac{8.48 R}{E E' \sqrt{c}} M_1 \\ &+ M_0 f_1(u) + \frac{3.3 R}{E E'} T_1 f_1(u) + \frac{8.48 R}{E E' \sqrt{c}} M_1 f_1(u), \quad (2.48) \end{aligned}$$

где r - радиус рассматриваемого элемента; R - радиус сферического участка длины; θ - текущий угол края сферического участка длины; θ_0 - средний текущий угол края горизонтального элемента; $\theta_{0P}=0.5(\theta_0 + \pi/2)$; T_0 , T_1 , M_0 , M_1 - силы и моменты, действующие по концу горизонтального элемента; T_0 - радиус меридиана горизонтального элемента; $f_1(u)$ - радиальные и угловые перемещения края сферического участка длины; $f_1(u)$ - подсчитанные функции программа u , спроецированные формулы (2.48) и (2.49) в табл. I предложены; M - крутящий, спроецированный формулой

$$(u = \frac{1.288 R (0.5 \chi - \theta_1)}{\sqrt{c} r_0}), \quad (2.49)$$

где $r_0=(R+c)/2$ - средний радиус концевого сечения горизонтального элемента; c - радиус полупараллельного участка длины.

Трансляция равенства радиальных и угловых перемещений в конце сопряжения горизонтального участка длины с полупараллельной оболочкой:

$$\begin{aligned} w_2 &= \frac{p R^2}{E B} \left(1 - \frac{r}{2} - \frac{r_{0P}}{2 R_0}\right) \sin \theta_{0P} + \frac{2.57 R^2}{E E' \sqrt{c} r_0} T_0 f_1(u) \sin^2 \theta_1 + \\ &+ \frac{2.57 R^2}{E E' \sqrt{c} r_0} T_1 f_1(u) - \frac{3.3 R}{E E'} M_0 f_1(u) + \frac{3.3 R}{E E'} M_1 f_1(u) = \\ &= \frac{p R^2}{E B} \left(1 - \frac{r}{2}\right) - \frac{2.57 R^2}{E E' \sqrt{c} r_0} T_1 + \frac{3.3 R}{E E'} M_1; \quad (2.50) \end{aligned}$$

$$\begin{aligned} w_2 &= \frac{3.3 R}{E E'} T_1 f_1(u) \sin \theta_1 + \frac{3.3 R}{E E' \sqrt{c} r_0} T_1 f_1(u) - \frac{8.48 R}{E E' \sqrt{c} r_0} M_1 f_1(u) + \\ &+ \frac{3.3 R}{E E' \sqrt{c} r_0} M_0 f_1(u) - \frac{3.3 R}{E E' \sqrt{c} r_0} T_1 f_1(u) \sin \theta_1 + \end{aligned} \quad (2.51)$$

где w_2 и Φ_2 - радиальные и угловые перемещения края полупараллельной оболочки.

Уравнение выше равенства (2.47), (2.48), (2.50) и (2.51) приводят к системе уравнений для определения компонентов усилий полупараллельных различных участков рассмотриваемого панеля. Эти уравнения сведены в табл. 2.2, в первой строке которой обозначены показатели в прямых частях уравнений - свободные члены. В четырех из четырнадцати строк уравнений эти коэффициенты при компонентах и свободных членах.

Таблица 2.2

Номер уравнения	T_0	T_1	$\frac{M_0}{r}$	$\frac{M_1}{r}$	$p R$
1	a_1	a_2	a_3	a_4	a_5
2	a_6	a_7	a_8	a_9	a_{10}
3	a_{11}	a_{12}	a_{13}	a_{14}	-
4	a_{15}	a_{16}	a_{17}	a_{18}	-

Коэффициенты при компонентах имеют следующие выражения:

$$a_1 = 2.57 \left(\frac{R}{r} - \frac{\sqrt{c}}{B} + \frac{p R^2}{E E' \sqrt{c} r_0} f_1(u) \right) \sin^2 \theta_1;$$

$$a_2 = 2.57 \frac{p R^2}{E E' \sqrt{c} r_0} f_1(u) \sin \theta_1;$$

$$a_3 = 3.3 \left(\frac{R}{r} - \frac{p R^2}{E E' \sqrt{c} r_0} f_1(u) \right) \sin \theta_1;$$

$$a_4 = 3.3 \frac{p R^2}{E E' \sqrt{c} r_0} f_1(u) \sin \theta_1;$$

$$a_5 = \left(\frac{p R^2}{E E' \sqrt{c} r_0} \right)^2 \left(1 - \frac{r}{2} - \frac{r_{0P}}{2 R_0} \right) \sin \theta_{0P} - \left(\frac{R}{r} \right)^2 \frac{1-r}{2} \sin \theta_1;$$

$$a_6 = 2.57 \left(\frac{p R^2}{E E' \sqrt{c} r_0} f_1(u) + \sqrt{\frac{p}{c}} \right);$$

1) Трансляция 1 получена из (2.47), 2 - (2.50), 3 - (2.48), 4 - (2.51).

$$\begin{aligned} \alpha_1 &= -3,5 \frac{\rho r^2}{8} f_1(\omega); \quad \alpha_2 = 3,5 \left(\frac{\rho r^2}{8} f_2(\omega) - \frac{r}{8} \right); \\ \alpha_3 &= 1 - \frac{r}{2} - \frac{\rho r^2}{8} \left(1 - \frac{r}{2} - \frac{\rho r^2}{2 F_0} \right) \sin 2\theta_0; \\ \alpha_4 &= 0,44 \frac{r}{8} \left(\sqrt{\frac{r}{8}} + \sqrt{\frac{\rho r^2}{8}} \right) f_3(\omega); \\ \alpha_5 &= -0,44 \frac{r}{8} \sqrt{\frac{\rho r^2}{8}} f_4(\omega); \\ \alpha_6 &= 0,44 \frac{r}{8} \left(\sqrt{\frac{r}{8}} + \sqrt{\frac{\rho r^2}{8}} \right) f_5(\omega). \end{aligned}$$

Решение системы уравнений, приведенной в табл. 2.2, определяет величины T_0 , T_1 , M_1 и M_2 , а также в различных выражениях в узлах сечениях по формулам (2.47) и (2.50).

Расчетные изгибающие моменты в узлах сечениях определяют по формулам:

в концевых сечениях края сферического участка линии

$$\sigma'_1 = -\frac{1}{8} \left(T_0 \cos \theta_1 + 0,5 \frac{pr}{\sin \theta_1} \right) \pm \frac{6M_0}{8T_1}; \quad (2.52)$$

в промежуточных сечениях:

$$\sigma'_1 = -\frac{6M_0}{8 \sin \theta_1} + 4\sigma'_1, \quad (2.53)$$

где θ_1 определяется первой частью равенства (2.47).

В концевых сечениях края плоскостной оболочки

$$\sigma'_1 = -\frac{pr}{2S} \pm \frac{6M_0}{8T_1}, \quad (2.54)$$

в промежуточных сечениях

$$\sigma'_1 = -\frac{6M_0}{8} + 4\sigma'_1, \quad (2.55)$$

где θ_1 определяется второй частью равенства (2.50).

В качестве предварительного решения рассмотримый задачи может быть предложено представление с изоморфностью узкой изогнутой линии, лежащей на один конец торового участка линии, от узкой, лежащей на другом ее конце. В этом случае система уравнений, определяющих изоморфные узкие изогнутости, приведенная в табл. 2.2, разделяется на две системы уравнений:

$$\left. \begin{aligned} \alpha_1 T_0 + \alpha_2 \frac{M_1}{r} &= \alpha_3 pr; \\ \alpha_3 T_0 + \alpha_4 \frac{M_1}{r} &= 0; \end{aligned} \right\} \quad (2.56)$$

$$\left. \begin{aligned} \alpha_4 T_1 + \alpha_5 \frac{M_1}{r} &= \alpha_6 pr; \\ \alpha_6 T_1 + \alpha_7 \frac{M_1}{r} &= 0. \end{aligned} \right\} \quad (2.57)$$

сторона

$$\left. \begin{aligned} T_0 &= \frac{\alpha_3 \alpha_5}{\alpha_1 \alpha_{10} - \alpha_2} pr; \\ M_1 &= \frac{-\alpha_1 \alpha_5}{\alpha_1 \alpha_{10} - \alpha_2} pr^2; \\ T_1 &= \frac{\alpha_6 \alpha_7}{\alpha_4 \alpha_{10} - \alpha_5} pr; \\ M_1 &= \frac{-\alpha_4 \alpha_7}{\alpha_4 \alpha_{10} - \alpha_5} pr^2. \end{aligned} \right\} \quad (2.58)$$

В наименее ответственных местах получены приближенные решения задачи (4), подавленного при замене оболочек сферической полусферической на узкото симметричной изогнутости.

§ 8. Исследование изогнутого состояния симметрической оболочки с изогнутой линией

Вместе присоединения конических оболочек к цилиндрическим, а также конических оболочек с различной изогнутостью друг к другу, при действии внешнего изогнутого разнонаправленного давления возникает разделение различных узлов в отдельных сечениях, величина которых определяется простым геометрическим суммированием изогнутых узлов, действующих в концевых сечениях оболочек, определяемых формулами (1.25) и (1.24). Разделение этих узлов изогнутыми переключается с оболочек в разные в случае соединения оболочек различной изогнутости (рис. 2.8).

$$T = \frac{pr}{2} (\operatorname{ctg} \theta_1 - \operatorname{ctg} \theta_2), \quad (2.59)$$

где p — внешнее разнонаправленное давление; r — радиус круга

соприкосновения областей; θ_1 и θ_2 - углы, образованные нормалью к поверхности оболочек с их сечениями.

Полученные различные условия называют видом оболочки в дополнительных ее радиальных перемещениях. Для оценки радиального состояния рассматриваемых соприкосновенных оболочек необходимо составлять условия, распространяющие статическую неопределенность из взаимодействия.

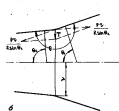
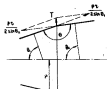


Рис.2.4. Определение радиальноизогнутой конфигурации узлов в стыковке соприкосновенных оболочек с различными углами кривизненности с наружной, обозначенной а - наружу; б - внутрь.

Расчетная схема, определяющая условия взаимодействия радиальноизогнутых конфигураций оболочек, показана на рис.2.5.



Рис.2.5. Схема к определению условий взаимодействия оболочек с различными углами кривизны

Для определения радиальных и угловых перемещений стыковых участков соприкосновенных оболочек воспользуемся формулами (1.39), в которых следует принять:

$$\Omega_x = \frac{T}{\sin \theta_1} . \quad (2.60)$$

Приравняв проекции параллельной краю соприкосновенных оболочек на радиус круга подшипника, получим уравнение

$$\Delta = \frac{pr^2}{EB_1 \sin \theta_1} \left(1 - \frac{\alpha}{2} \right) - \frac{2,57 r^2}{EB_1 \sqrt{1-\alpha}} T_1 \sqrt{\sin \theta_1} + \frac{3,3 r}{EB_1^2 M_0} - \frac{2,57 r^2}{EB_2 \sqrt{1-\alpha}} (T-T_1) \sqrt{\sin \theta_2} + \frac{pr^2(1-\alpha)}{EB_2 \sin \theta_2} \cdot \frac{3,3 r}{EB_2^2 M_0} . \quad (2.61)$$

где Δ - радиальное перемещение стыкового сечения оболочек; T - погонное усилие, определяемое формулой (2.59); T_1 - погонное усилие, воспринятое оболочкой с большой кривизненностью; M_0 - погонный момент, действующий в соприкосновении оболочек; θ_1 и θ_2 - углы соприкосновенных оболочек.

Условие равенства узлов поворота концов сечений соприкосновенных оболочек имеет вид

$$\begin{aligned} & -\frac{3.37}{681^2} T_1 + \frac{0.48 \sqrt{\pi}}{681 \sin \theta_1} M_0 = \\ & -\frac{3.37(T_1)_{cr}}{681^2} - \frac{0.48 \sqrt{\pi}}{681 \sin \theta_1} M_0. \end{aligned} \quad (2.62)$$

Полученные граничные в сечении разности толщин спиральных оболочек $\theta_1 = \theta_2$, а при ограничении угла кривизны $\theta_1 < 30^\circ$, $T_1 > 60^\circ$, можно принять $\sqrt{\sin \theta_1} \approx 1$, откуда из соотношения (2.61) и (2.62) следует

$$\left. \begin{aligned} M_0 &= 0.1957 \sqrt{\pi} : \\ T_1 &= 5.57. \end{aligned} \right\} \quad (2.63)$$

Выражение от края оболочки в стыковом сечении, учтевшие (2.59) и (2.63),

$$\Theta_{out} = \pm \frac{8M_0}{\pi r^2} \pm \frac{pr}{25} 1.17 \sqrt{\frac{r}{\pi}} (\operatorname{ctg} \theta_1 - \operatorname{ctg} \theta_2). \quad (2.64)$$

Суммарные напряжения в конических сечениях оболочки

$$\Theta'_1 = - \frac{pr}{25} \left[\frac{1}{\sin \theta_1} \pm 1.17 \sqrt{\frac{r}{\pi}} (\operatorname{ctg} \theta_1 - \operatorname{ctg} \theta_2) \right]. \quad (2.65)$$

Среднее по толщине оболочки напряжение в меридианальном сечении в месте сопряжения конических участков

$$\Theta_0^0 = - \frac{Eh}{r} + \Theta_1^0, \quad (2.66)$$

где h — разность перемещения стыкового сечения оболочек, определяемое по формуле (2.61); Θ_1^0 — среднее напряжение в коническом сечении по стыку

$$\Theta_1^0 = - pr / 25 \sin \theta_1. \quad (2.67)$$

Согласно (2.60) и (2.67)

$$h = \frac{pr^2}{EB \sin \theta_1} \left(1 - \frac{1}{2} \right) - 0.32 \frac{pr^2}{EB} \sqrt{\frac{r}{\pi}} (\operatorname{ctg} \theta_1 - \operatorname{ctg} \theta_2),$$

откуда из соотношения (2.66) и (2.67)

$$\Theta_0^0 = - \frac{pr}{5} \left[\frac{1}{\sin \theta_1} + \sqrt{\frac{r}{\pi}} \operatorname{tg} \theta_1 \right]. \quad (2.68)$$

где θ_1 — внутренний угол между образующими оболочек (см. рис. 2.9).

Как видно из рис. 2.9, при выпуклости края соединения оболочек, образованного наружу (см. рис. 2.8, а), $\operatorname{tg} \theta < 0$ и напряжения в меридианальных сечениях имеют "котельную" (рг. 6). При выпуклости края, образованного внутрь (см. рис. 2.8, б), $\operatorname{tg} \theta > 0$ и напряжения имеют форму "котлована". Таким образом, выпуклость края, образованного наружу, в таком соединении оболочки приводит к увеличению напряжений в продольных сечениях, а выпуклость края, образованная внутрь, существенно уменьшает эти напряжения.

Суммарные напряжения в поперечных сечениях оболочки (2.65) в обеих случаях больше напряжений в конических оболочках за пределами стыкового сечения оболочек и могут достигать кратительных величин, что можно показать на следующем примере. В сопряжении конической оболочки ($\theta_1 = 70^\circ$) с цилиндрической ($\theta_2 = 90^\circ$) при $r/\theta = 60$ по формуле (2.65)

$$\Theta'_1 = - \frac{pr}{25} \left[\frac{1}{0.34} \pm 1.17 \sqrt{\frac{r}{\pi}} (0.347 - 0) \right] = - \frac{pr}{25} [0.98 \pm 3.34],$$

что более, чем в 2 раза превышает "котельную".

Очевидно, что для обеспечения прочности в районе сопряжения конических оболочек с различной кривизной необходимо выполнение подкреплений, осуществляемых один из способов: 1) утолщением оболочек в месте сопряжения; 2) надеванием в районе сопряжения торособразной вставки; 3) надеванием продольными ребрами, установленными постепенно чисто по окружности оболочки за участок между шлангортами с обеих сторон от стыкового сечения; 4) установкой утолщенного элемента в плоскости сопряжения оболочек.

Следует отметить, что на 2, 3 не приводят к снижению напряжений в продольных сечениях оболочки при внутреннем изгибе.

При увеличении толщины оболочек в месте их сопряжения расчет выполняют по формулам (2.65) и (2.68) для утолщенной толщины B' .

а) При утолщении напряжения (2.68) приведено

$$\operatorname{tg} \theta = \operatorname{ctg} \theta_1 - \operatorname{ctg} \theta_2.$$

При построении проекции ребер жесткости между смежными панелютами расчетные направления в поперечных сечениях проекции ребер жесткости определяют по формуле

$$\Theta_1 = \frac{pr}{2\delta_1} \cdot \frac{1}{(1+(1/p)\delta_1)} - \frac{T\delta_1}{4W}, \quad (2.69)$$

где δ_1 - расстояние между панелютами; δ - расстояние между проекциями ребер по симметрии стыкового сечения; T - плоскость поперечного сечения ребра жесткости; W - момент сопротивления сечения проекции ребра жесткости с приведенным положением относительно стыкового сечения; T - расчетное положение узла, определяемое по формуле (2.68).

При построении в стыковом сечении узлового панелюта панелюты должны расположиваться на действии симметричного распределения силы погонной узкими T (2.69) с учетом взаимодействия с оболочкой.

3. Конструкции квадратного состояния и узлы проекции панелютической оболочки малого диаметра в сферической оболочке

Рассмотрим случай проекции краевой панелютической оболочки в сферической, показанный на рис.2.10. Как видно по рисунку, круговая панелютическая оболочка в наружной части сферической оболочки изогнута линиями радиусами диаметрами. Внутренняя часть сферической оболочки, расположенная внутри контура проекции к ней панелютической оболочки, не изогнута.

Для определения узлов взаимодействия панелютической оболочки со сферической панелюбкой рассмотрим сферическую оболочку на две участка, расположенные снаружи и внутри контура проекции к ней панелютической оболочки и рассмотреть сопротивление трех элементов, показанных на рис.2.10, нагруженных из боковых проекций к другим другу узловым взаимодействиям, которые должны быть взаимно гравитационны и одновременно из узловых разрывов разделенных к узлам сферической.

Заметим, что в соответствии с установленной практикой, при определении различных выражений на контуре наружной части сферической оболочки (см.рис.2.10,а) учитываются па-

раллелизмы, изображенные по наружной к меридиану оболочки. Эти параллельные сопротивления в предложении, рассматриваемой сферической оболочке как плоское круговое колцо [6], изображение на внутреннем контуре усилено, показанным на рис.2.10,а, а на внешнем контуре - усилено симметрией сферической оболочки, изображенной линиями радиусами панелютами. На основании решения задачи о деформации толстостенной трубки [7], в которой предполагается, что квадрат отстояния внутреннего радиуса колца к внешнему пренебрегают или же сближение с единицей, получим

$$\Theta = \left[2\delta_0^2 + (1+4\delta_0^2) \right]^{-\frac{1}{2}}, \quad (2.70)$$

где Θ - радиус кривизны панелютической оболочки в сферической; δ_0 и δ_1 - нормальные параллели на наружном и внутреннем контуре колца, изображенные развертками

$$\left. \begin{aligned} \delta_0 &= \frac{pr}{2\delta_0 \sin \varphi}, \\ \delta_1 &= \frac{T_{\text{сиг}} \varphi + 2,5 pr \sin \varphi}{\vartheta_1} \end{aligned} \right\} \quad (2.71)$$

r - значение радиусом длины; ϑ_1 -угол между панелютической обол-



Рис.2.10. Построение панелютической оболочки малого диаметра в сферической оболочке и соединение узлов панелютической панелюбкой оболочки: а - наружный участок сферической оболочки; б - панелютической оболочки; в - внутренний участок сферической оболочки

закона; ϕ - полный угол контура прямолинейной оболочки в сферической; T_1 - радиальное потоковое усилие, действующее по контуру наружной части оболочки.

Согласно (2.70) и (2.71) перемещки, вычисленные по изотропной и меридиану, изменившиеся от контура наружной части сферической оболочки (см.р.2.10,а) к прямолинейные в направлении изотропной, равны

$$\psi = \left[-\frac{R^2}{E_1 \sin \phi} - (1+4)\left(\frac{T_1}{E_1} \cos \phi + \frac{R^2}{E_1} \sin \phi\right)\right] \frac{\pi}{E}, \quad (2.72)$$

перемещки, вычисленные по радиусу сферической оболочки с учетом ее обратимы в изотропе, определяются равенством

$$\psi = \frac{R^2}{E E_1} (1-\epsilon) - \frac{2.57 R^2}{E E_1 \sqrt{R E_1}} \left(T_1 - \frac{R^2}{2} \cos \phi \right) \sin \phi + \frac{3.32}{E E_1^2} M_1, \quad (2.73)$$

где R - радиус сферической оболочки; M_1 - сосредоточенный потоковой момент, действующий по контуру наружной части оболочки (см.р.2.10,а); ψ - перемещение по нормали к поверхности оболочки, положительное в направлении изнутри.

Радиальное перемещение контура наружной части оболочки в плоскости контура выражается равенством

$$\delta_{r1} = \nu \cos \phi + \nu \sin \phi \quad (2.74)$$

и согласно (2.72) и (2.74)

$$\delta_{r1} = \left[-\frac{R^2}{E_1 \sin \phi} - (1+\epsilon)\left(\frac{T_1}{E_1} \cos \phi + \frac{R^2}{E_1} \sin \phi\right)\right] \frac{\pi}{E} \cos \phi + \frac{R^2}{E E_1} (1-\epsilon) \sin \phi - \frac{2.57 R^2}{E E_1 \sqrt{R E_1}} \left(T_1 - \frac{R^2}{2} \cos \phi \right) \sin^2 \phi + \frac{3.32}{E E_1^2} M_1 \sin \phi. \quad (2.75)$$

где δ_{r1} - радиальное перемещение контура наружной части оболочки, положительное в направлении к оси оболочки.

Полное перемещение по контуру рассматриваемой части оболочки восстанавливается при вращении по часовой стрелке (см. рис.2.10,а)

$$\delta_r = \frac{3.32}{E E_1^2} \left(T_1 - \frac{R^2}{2} \cos \phi \right) \sin^2 \phi + \frac{0.48 R}{E E_1^2 \sqrt{R E_1}} M_1. \quad (2.76)$$

Радиальное и угловое перемещения края сферической оболочки (см.рис.2.10,б)

$$\delta_{r1} = \frac{R^2 \epsilon^2}{E E_1} \left(1 - \frac{3}{2} \epsilon \right) - \frac{2.57 \epsilon^2}{E E_1 \sqrt{R E_1}} T_1 + \frac{3.32}{E E_1^2} M_1; \quad (2.77)$$

$$\theta_1 = \frac{3.32}{E E_1^2} T_1 - 0.48 \frac{R^2}{E E_1 \sqrt{R E_1}}, \quad (2.78)$$

где δ_{r1} - радиальное перемещение контура круговой сферической оболочки, положительное в направлении к ее оси; θ_1 - угловое перемещение контура сферической оболочки; T_1 и M_1 - радиальное потоковое усилие и сосредоточенный потоковой момент, действующие по контуру сферической оболочки; ϵ - толщина сферической оболочки.

Рассмотрим перемещение контура внутреннего участка сферической оболочки (см.рис.2.10,в), заметим, что на контуре этого участка действуют постоянное радиальное усилие, проекция которого на изотропную и меридиану оболочки является силами контура, а проекция его на радиус оболочки - постоянный поток момента. Обе эти деформации скрывают радиальное перемещение контура.

Поскольку внутренний участок сферической оболочки представляет собой сферический сегмент с недлинной стальной пруткой, будем рассматривать его как плоский круглый диск, изогнувшийся по контуру радиальными усилиями. Конфигурация этого изогнувшегося и меридиональных сечений по контуру будет одинакова наружу и в изогнутых сечениях, а следовательно, линейная деформация контура не сущестует.

$$\psi = -\frac{T(1-\epsilon) \cos \phi}{E E_1}, \quad (2.79)$$

где T - радиальное потоковое усилие, действующее по контуру внутреннего участка оболочки; ψ - линейная деформация контура этого участка.

При этом ясно видно, что радиальное перемещение, являющееся линейной деформацией контура

$$\delta = -E \epsilon,$$

является радиальным перемещением контура с учетом изгиба оболочки

$$\delta_{r1} = \frac{2.57 R^2}{E E_1 \sqrt{R E_1}} T \sin^2 \phi - \frac{3.32}{E E_1^2} M_1 \sin \phi + \frac{T(1-\epsilon) \cos \phi}{E E_1}. \quad (2.80)$$

где M - изгибающийся потокий момент, действующий на контуре внутреннего участка оболочки (см.рис.2.10,а).

Условие равенства на контуре этого участка оболочки

$$\Phi_1 = -\frac{3,3R}{E\delta_1^2} T \sin \varphi + \frac{B_{1,0} R}{E\delta_1^2 \sqrt{R\delta_1}} M . \quad (2.81)$$

Таким образом на контурах сопряжениях оболочек, система уравнений разложена:

$$\left. \begin{aligned} T &= T_1 + T_2 ; \\ M &= M_1 + M_2 , \end{aligned} \right\} \quad (2.82)$$

При этом условия совпадают определяются четырьмя параметрами равноты радиальных и угловых перемещений: $\delta_1 = \delta_{1,1}$; $\delta_2 = \delta_{1,2}$; $\theta_1 = \theta_{1,1}$; $\theta_2 = \theta_{1,2}$.

Заменив в выражениях (2.77) и (2.78) T_2 и M_2 на соотношении угловой разности (2.82) равнотами

$$\left. \begin{aligned} T_2 &= T - T_1 ; \\ M_2 &= M + M_1 , \end{aligned} \right\} \quad (2.83)$$

получим систему уравнений, следующую в табл.2.3, в верхней строке которой обозначены величины к свободным членам - правые части уравнений, а в четырех нижерасположенных строках - коэффициенты при неизвестных к свободным членам.

Таблица 2.3

Номер уравнения	T_1	T_2	$M_1/0$	$M_2/0$	$p\pi$
1	G_1	G_2	G_3	G_4	G_5
2	G_6	G_7	G_8	G_9	G_{10}
3	G_{11}	G_{12}	G_{13}	G_{14}	G_{15}
4	G_{16}	G_{17}	G_{18}	G_{19}	-

^{a)} Границы 1 соответствуют разности $\delta_1 = \delta_{1,1}$; 2 - $\delta_2 = \delta_{1,2}$; 3 - $\theta_1 = \theta_{1,1}$; 4 - $\theta_2 = \theta_{1,2}$.

Коэффициенты при неизвестных имеют следующие значения:

$$\left. \begin{aligned} G_1 &= 2,57 \left(\frac{\sqrt{\frac{R}{\delta_1}}}{{\delta_1}^2} \sin \varphi + \frac{B_{1,1}}{\delta_1} \sqrt{\frac{R}{\delta_1}} \right) + (1+\epsilon) \cos^2 \varphi ; \\ G_2 &= -2,57 \frac{B_{1,1}}{\delta_1} \sqrt{\frac{R}{\delta_1}} ; \\ G_3 &= 3,3 \left(\frac{\delta_1^2}{R\delta_1} - 1 \right); \quad G_4 = 3,3 \left(\frac{B_{1,1}}{\delta_1} \right)^2 ; \\ G_5 &= \operatorname{ctg} \varphi - 0,85 \sin \varphi \cos \varphi + \frac{0,35}{\sin \varphi} + \\ &\quad + 1,285 \sqrt{\frac{R}{\delta_1}} \cos \varphi - 0,85 \frac{B_{1,1}}{\delta_1} ; \\ G_6 &= 2,57 \left(\frac{B_{1,1}}{\delta_1} \sqrt{\frac{R}{\delta_1}} + \sqrt{\frac{R}{\delta_1}} \sin \varphi \right) + (1-\epsilon) \cos \varphi ; \\ G_7 &= -3,3 \left(\frac{B_{1,1}}{\delta_1} \right)^2 ; \\ G_8 &= -3,3 \left(1 + \frac{B_{1,1}^2}{\delta_1^2} \right) ; \\ G_9 &= \frac{B_{1,1}}{\delta_1} \left(1 - \frac{3}{2} \right) ; \\ G_{10} &= 2,48 \frac{B_{1,1}}{\delta_1} \left(\sqrt{\frac{R}{\delta_1}} + \frac{B_{1,1}}{\delta_1} \sqrt{\frac{R}{\delta_1}} \right) ; \\ G_{11} &= 0,48 \frac{B_{1,1}^2}{\delta_1^2} \frac{B_{1,1}}{\delta_1} \sqrt{\frac{R}{\delta_1}} ; \quad G_{12} = 0,66 \operatorname{ctg} \varphi ; \\ G_{13} &= 0,48 \frac{B_{1,1}}{\delta_1} \left(\sqrt{\frac{R}{\delta_1}} + \frac{B_{1,1}}{\delta_1} \sqrt{\frac{R}{\delta_1}} \right) . \end{aligned} \right\} \quad (2.84)$$

После решения системы уравнений, приведенной в табл.2.3, в определении всех неизвестных обобщенных проблемах задачи сопряжения элементов оболочек - выполнение условий равноты радиальных и угловых перемещений, выраженных по формулам (2.76)-(2.81).

Равноты нормальных напряжений в сопряженных элементах конструкций выражаются по линейным формулам:

- На контуре верхнего участка сферической оболочки в предельном состоянии

$$\Theta_1' = -\frac{T_1 \cos \varphi + 0,5 p \sin \varphi}{\delta_1} + \frac{BM_1}{\delta_1^2} ; \quad (2.85)$$

и предельном состоянии

$$\Theta_2' = -\frac{E_{A,1}}{c} + 2\Theta_1' , \quad (2.86)$$

так δ_1 определяется по формуле (2.75), а Θ_1' — по формуле (2.87).

2. На контуре плоскостной оболочки:

в концевом сечении:

$$\Theta_1' = - \frac{pR}{2\delta} \pm \frac{6M_1}{\delta^2}; \quad (2.87)$$

в промежуточном сечении:

$$\Theta_1' = - \frac{6M_1}{r} + 4\delta_1'; \quad (2.88)$$

так δ_1 определяется по формуле (2.75), а Θ_1' — по формуле (2.87).

3. На контуре внутреннего участка сферической оболочки в концевом сечении:

$$\Theta_1' = - \frac{T \cos \varphi}{\delta_1} \pm \frac{6M_1}{\delta_1^2}; \quad (2.89)$$

в промежуточном сечении:

$$\Theta_1' = - \frac{6M_1}{r} + 4\delta_1'; \quad (2.90)$$

так δ_1 определяется по формуле (2.80), а Θ_1' — по формуле (2.89).

Для сечения изогнутого состояния элементов сопряженных оболочек в сечениях этих оболочек, удаленных от стыкового сечения, необходимо определять изгибющие моменты и радиальные перемещения для соответствующих сечений.

Для определения изгибывающих моментов в радиальных перемещениях в плоскостной оболочке в сечениях, удаленных на расстояние x от стыкового сечения, следует воспользоваться формулами (2.46), в которых в качестве радиальных перемещений — радиальные проекции постоянных усилий на контуре T_1 с учетом направления этого усилия и момента M_1 .

Следует учитывать, что при определении узловых пренебрежений может оказаться необходимым подсчитать утолщенные сопряженные оболочки.

3.10. Изогнутое изогнутое состояния сферической оболочки в районе кругового края, подвергнутого плюским круговым колыям при действии радиального момента длины

Определение усилий изогнутости сферической оболочки с утолщением в её окрестности круговыми колыями имеет ту особенность, что при определении радиальных перемещений контура края в оболочке учитываются перемещения, вынужденные изогнутостью к краю окрестности сферической оболочки, проведенной из точки пересечения межоболочного симметрии с контуром края (см. § 9).

При определении этих перемещений сферической оболочки усилие изогнутости заменяется плюским круговым колыем, загруженным по внутреннему контуру усилием изогнутости с радиальными круговыми колыями, а по наружному контуру усилия плюского колыма — колылем изогнутости сферической оболочки, загруженный со стороны выпуклости радиальным давлением.

Усилия изогнутости сферической оболочки в плюском круговом колыле выражаются на основе уравнений равновесия радиальных и усилий изогнутости на краю пренебрежимо тонкого колыма в контуре края оболочки. Радиальные перемещения на краю края оболочки в плюсистой концевой сечении колыма, параллельном к контуру круга края, определяют с учетом изогнутости к краю окрестности изогнутости по формуле

$$\delta = \psi \cos \varphi + \psi_0 \sin \varphi,$$

так δ — радиальные перемещения на краю края оболочки; ψ — перемещение по плюсистой к краю окрестности, изогнутое от контура края в плюсистом в изогнутии плюсистой; ψ_0 — перемещение по краю к плюсистой оболочки, параллельное к изогнутию контура; φ — плюсистый угол контура края.

Воспользовавшись выражениями для выражений ψ и ψ_0 , полученным в § 9, можно скомбинировать выражения для радиального перемещения (2.75) (рис. 3.II,a)

$$\delta = \frac{pR^2}{2\delta\delta_1}(1-\epsilon)\sin\varphi - \frac{2,57R^2}{4\delta_1\sqrt{\delta\delta_1}}\left(T - \frac{pR}{2}\cos\varphi\right)\sin^2\varphi + \frac{3,5R}{\delta\delta_1^2},$$

$$\sin \varphi = \left[\frac{pR}{b_1} - (1-i) \left(\frac{T}{b_1} \cos \varphi + \frac{M}{2b_1} \sin \varphi \right) \right] \frac{r}{l} \cos \varphi, \quad (2.91)$$

где r - радиус длины; R - радиус сферической оболочки; T - радиус кривизна, $T=R \sin \varphi$; b_1 - толщина сферической оболочки; T и M - изгибающиеся потоки усилий и моментов, действующие на контуре кирпича.

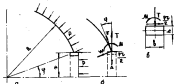


Рис. 2.11. Поперечное сечение кирпичного кирпича сферической оболочки плоским кирпичом: а - схема изогнутой струны; б - усилия на контуре кирпича оболочки; в - усилия на кромке кирпича

Угловое перемещение контура кирпича оболочки, замененного при граничных по часовой стрелке (см. рис. 2.11, б)

$$\omega' = -\frac{3.2 R}{(b_1)^2} \left(T - \frac{pR}{2} \cos \varphi \right) \sin \varphi + \frac{5.6 R M}{6b_1^2 \sqrt{R} b_1}, \quad (2.92)$$

При определении перемещений края плоского кирпича, по линии его контакта с оболочкой можно рассматривать как тело в идеальном контуре его поперечного сечения. При этом радиальное перемещение контурной кромки плоского кирпича принимается равным радиальному перемещению центра плоскости его поперечного сечения.

Плоское кирпичное радиальное сжатие усилием T и потоком момента M_0 (см. рис. 2.11, в), определяется формулой

$$N_0 = M - \frac{p r}{2} \frac{b}{2}, \quad (2.93)$$

где M_0 - потокой изгибающий момент; b - толщина кирпича.

Под действием этих усилий изогнутые сечения смещаются в направлении радиуса кирпича на величину

$$\Delta = T r^2 / E J_m, \quad (2.94)$$

где J_m - плоское сечение кирпича, и повергается относительно центральной оси кирпича на угол α (в)

$$\theta = M_0 r^2 / E J_m, \quad (2.95)$$

где J_m - момент инерции поперечного сечения кирпича относительно центральной оси, лежащей в плоскости сечений кирпича и перпендикулярной по радиусу.

Применив радиальные и угловые перемещения контура кирпича оболочки (2.91) и (2.92) различному перемещению кирпича (2.94) и угол его закручивания (2.95) с учетом (2.93), получим для уравнения для определения усилий изогнутости:

$$\left. \begin{aligned} \alpha_1 T - \alpha_2 \frac{M}{b_1} &= \alpha_1 p r ; \\ \alpha_2 T - \alpha_3 \frac{M}{b_1} &= \alpha_2 p r, \end{aligned} \right\} \quad (2.96)$$

так

$$\left. \begin{aligned} \alpha_1 &= (1-i) \cos^2 \varphi + 2.57 \sqrt{\frac{R}{b_1}} \sin^2 \varphi - \frac{p R}{2} \sin \varphi ; \\ \alpha_2 &= 3.3 \sin \varphi ; \\ \alpha_3 &= 6.48 \sqrt{\frac{R}{b_1}} + \frac{p R^2}{2b_1} \sin \varphi ; \\ \alpha_4 &= \frac{1-i}{2} + 1.285 \sqrt{\frac{R}{b_1}} \sin \varphi \cos \varphi + \cos \varphi - \frac{1+i}{2} \sin^2 \varphi \cos \varphi ; \\ \alpha_5 &= 1.85 \cos \varphi - 0.25 \frac{p R^2}{b_1} \sin \varphi . \end{aligned} \right\} \quad (2.97)$$

На основании (2.96)

$$\left. \begin{aligned} T &= \frac{\alpha_2 \alpha_3 - \alpha_1 \alpha_5}{\alpha_2 \alpha_3 - \alpha_1^2} p r ; \\ M &= \frac{\alpha_2 \alpha_4 - \alpha_1 \alpha_5}{\alpha_2 \alpha_3 - \alpha_1^2} p r b_1. \end{aligned} \right\} \quad (2.98)$$

Расчетные выражения на контуре кирпича с сферической оболочкой:

в концевом сечении

$$\sigma'_1 = -\frac{T_{0,1} + 0,3 \pi r_1^2 \sigma_{1,1}^2}{B_1} + \frac{BM}{B_1^2}; \quad (2.99)$$

и продольном сечении

$$\sigma'_{1,1} = \frac{E A}{c} + \Phi \sigma'_1; \quad (2.100)$$

где A – определяется формулой (2.91).

Расчетные выражения в плюсом конце:

$$\sigma^{max} = -\frac{T_r}{1} + \frac{M_{k,c} b}{23 \pi}, \quad (2.101)$$

где b – ширина конца.

Для рассматриваемого здесь конца прямугольного сечения (см. рис. 2.11, а), поскольку

$$\begin{aligned} J_{xx} &= h b^3 / 12; \\ \sigma^{max} &= -\frac{T_r}{h b} + \frac{6 M_{k,c}}{h b^4} \end{aligned} \quad (2.102)$$

§ 11. Определение напряжений в сферической оболочке с круговым сечением, подкрепленной полигоном стяжек

Рассматриваются сферические переборки с круговыми стяжками, подкрепленными полигоном стяжек, ограниченной линией, расположенной симметрично относительно контура перебора, как показано на рис. 2.12, а.

Узлы полигонометрической оболочки с круговыми полигонометрическими стяжками определяются условиями равнотензии радиальных и узловых горизонтальных контуров сферического континента и среднего сечения стяжки. Радиальные и узловые перемещения контура перебора в сферической оболочке, нагруженной концами длининки, определяются формулами (2.75) и (2.76). Радиальные и узловые перемещения полигонометрического стяжка в его среднем сечении, нагруженного равнотензии концами длининки на участке, нестильном на пряслах перебора (рис. 2.12, б), определяются по следующим формулам.

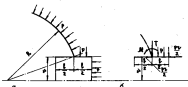


Рис. 2.12. Поперечное круговое сечение в сферической оболочке с круговыми стяжками: а – схема конструкции; б – узлы в расчетном сечении стяжки.

Радиальные перемещения среднего сечения стяжки

$$\Delta_2 = \frac{\rho r^2}{2 E G} \left(1 - \frac{r}{R}\right) + \frac{0,642 \rho r^2}{E G \sqrt{r} G} T \Phi_1(u), \quad (2.103)$$

где Δ_2 – радиальное перемещение среднего сечения стяжки; r – радиус-вектор изгиба длининки; T – радиус круговой полигонометрической оболочки; G – модуль сдвига полигонометрического стяжка; T – потоковый осреднительный усилие полигонометрической стяжки со сферической оболочкой; $\Phi_1(u)$ – коэффициент изгиба ограничительных линий полигонометрического стяжка [(см. формулу (1.62)), определяемый по формуле

$$\Phi_1(u) = \frac{\sin u + \cos u + 2}{\sin u + \sin u}; \quad (2.104)$$

$$u_1 = \frac{1,2854}{\sqrt{r} G}, \quad (2.105)$$

где l – длина стяжки.

Линейное перемещение среднего сечения стяжки

$$\Delta_3 = \frac{0,642 \rho r^2}{E G \sqrt{r} G} \left(1 - \frac{r}{R}\right) \Phi_2(u) - \frac{2,1274}{E G \sqrt{r} G} \Phi_3(u), \quad (2.106)$$

где M – потокий момент изгибающей стяжки со сферической переборкой; $\Phi_2(u)$ и $\Phi_3(u)$ – коэффициенты линейных ограничительных линий полигонометрического стяжка, определяемые по формулам

$$\left. \begin{aligned} \psi_1(\mu_1) &= \frac{\sin \mu_1 + \cos \mu_1 + 2}{\sin \mu_1 - \sin \mu_1} ; \\ \psi_2(\mu_1) &= \frac{\sin \mu_1 - \cos \mu_1}{\sin \mu_1 - \sin \mu_1} . \end{aligned} \right\} \quad (2.107)$$

Приложим равенства к условиям совмещения контура циркуляции сферической передороги в цилиндрическом отсеке, получим следующие уравнения:

$$\left. \begin{aligned} a_1 T + a_2 \frac{M}{B_1} &= \operatorname{rg} a_4 ; \\ a_2 T + a_3 \frac{M}{B_1} &= \operatorname{rg} a_5 . \end{aligned} \right\} \quad (2.108)$$

где B_1 — толщина сферической передороги.

Коэффициенты в уравнении (2.108) определяют следующими выражениями:

$$\left. \begin{aligned} a_1 &= -2,57 \sqrt{\frac{R}{B_1}} \sin \varphi + 1,3 \cos^2 \varphi + 0,642 \sqrt{\frac{R}{B_1}} \frac{B_1}{B} \psi_1(\mu_1); \\ a_2 &= -3,3; \\ a_3 &= 0,43 \sqrt{\frac{R}{B}} \frac{1}{\sin \varphi} + 2,12 \left(\frac{B_1}{B} \right)^2 \psi_2(\mu_1) \sqrt{\frac{R}{B}} ; \\ a_4 &= \frac{0,35}{\sin \varphi} + 1,285 \sqrt{\frac{R}{B_1}} \cos \varphi - 0,651 \sin \varphi \cos \varphi - 0,425 \frac{B_1}{B} ; \\ a_5 &= 0,648 \left(\frac{B_1}{B} \right)^2 \psi_1(\mu_1) \sqrt{\frac{R}{B}} - 1,65 \sin \varphi . \end{aligned} \right\} \quad (2.109)$$

где R — радиус сферической оболочки; φ — полярный угол контура совмещения сферической и цилиндрической оболочек (см. рис. 2.12, а); $\sin \varphi = r/\sqrt{R}$.

На основе уравнений (2.108) следует

$$\left. \begin{aligned} T &= \frac{a_2 a_3 - a_1 a_4}{a_1 a_3 - a_2 a_4} \operatorname{rg} ; \\ M &= \frac{a_2 a_3 - a_1 a_4}{a_1 a_3 - a_2 a_4} \operatorname{rg} B . \end{aligned} \right\} \quad (2.110)$$

Равенства выражения в сферической передороге за контур присоединения к под цилиндрическому отсеку определяют по формулам (2.85) и (2.86).

Равенства выражения в цилиндрической оболочке определяют по следующим формулам.

1. В изотермии отсека оболочки в изогнутоей форме отсека:

$$\Theta_1' = \pm 5M_1/B^2 . \quad (2.111)$$

так

$$M_1 = \frac{M}{2} + 0,195T\sqrt{rB} . \quad (2.112)$$

2. В изотермии отсека отсека в изогнутоей его части (см. рис. 2.12, б)

$$\Theta_1' = -\frac{pr}{2B} \pm \frac{5M_1}{B^2} . \quad (2.113)$$

так

$$M_1 = -\frac{M}{2} + 0,195T\sqrt{rB} . \quad (2.114)$$

3. В прямолинейной форме отсека отсека:

$$\Theta_1' = -\frac{5A_1}{r} + \Theta_1' , \quad (2.115)$$

где A_1 — определяется по формуле (2.103).

В заключение этого параграфа рассмотрим более общий случай совмещения кирпича в сферической передороге цилиндрической оболочки большой длины, представляющей собой, например, переходную шахту, проходящую через сферическую передорогу за изогнутую длину, как показано на рис. 2.13.

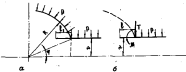


Рис. 2.13. Совмещение кирпичного кирпича в сферической оболочке большой длины: а — схема конструкции; б — условие в расчетах оболочки

При этом внутренними деформациями верхней части оболочки, рассматриваемой как оболочка интегральной формы, характеристики деформации такой оболочки рассмотрены в § 3.

Радиальные перемещения внутреннего сечения такой оболочки определяют с учетом (1.66), (1.69) и (1.77)

$$\frac{pr^2}{EJ} \left(1 - \frac{r}{\bar{R}}\right) \Psi_1(u) + \frac{2,57r^2}{EJ\sqrt{\epsilon-6}} T \Psi_2(u) + \frac{0,3r}{EJ} M \Psi_3(u), \quad (2.116)$$

где ϵ и \bar{R} - радиус и толщина цилиндрической оболочки; r - радиальная координата; T и M - величины усилий и момента воздействиями со сферической оболочкой; $\Psi_1(u)$, $\Psi_2(u)$ и $\Psi_3(u)$ - функции аргумента u , определяемые по формулам (1.66) и (1.75).

$$u = 1,285\sqrt{\epsilon} / \sqrt{\epsilon-6}, \quad (2.117)$$

где ϵ_1 - противоположность защигуемого участка оболочки (см. рис. 2.13).

Угловые перемещения цилиндрической оболочки по контуру пропорциональны к той сферической передорожке с учетом (1.66), (1.69) и (1.77)

$$\begin{aligned} \Theta_1 &= \frac{2,57r^2}{EJ\sqrt{\epsilon-6}} \left(1 - \frac{r}{\bar{R}}\right) \Psi_4(u) + \frac{0,3r}{EJ} T \Psi_5(u) + \\ &+ \frac{0,48r}{EJ^2\sqrt{\epsilon-6}} M \Psi_6(u), \end{aligned} \quad (2.118)$$

где функции $\Psi_4(u)$, $\Psi_5(u)$, $\Psi_6(u)$ определяют по формулам (1.66), (1.70) и (1.75).

Радиальные и угловые перемещения сферической оболочки по контуру ее пропорциональны к цилиндрической оболочке определяются по формулам (2.75), (2.76).

На линии радиальных и угловых перемещений контура наружной сферической передорожки к цилиндрической оболочке получены соотношения уравнений (2.108).

Коэффициенты в уравнении системы (2.108) в данном случае будут:

$$\left. \begin{aligned} \alpha_1 &= 2,57 \sqrt{\frac{R}{\epsilon}} \sin \varphi + 1,3 \cos^2 \varphi + 2,57 \sqrt{\frac{R}{\epsilon}} \frac{S_1}{S} \Psi_1(u); \\ \alpha_2 &= -3,3 \left(1 - \frac{S_1}{S}\right) \Psi_2(u); \end{aligned} \right\} \quad (2.119)$$

$$\alpha_3 = 0,48 \left[\frac{1}{\sin \varphi} \sqrt{\frac{S_1}{\epsilon}} + \frac{S_1^2}{S} \sqrt{\frac{R}{\epsilon}} \Psi_3(u) \right];$$

$$\alpha_4 = 1,285 \frac{\sqrt{\epsilon}}{S_1} \cos \varphi + \frac{0,3S_1}{\sin \varphi} - 0,65 \sin \varphi \cos \varphi + \epsilon \varphi \Psi_4(u);$$

$$\alpha_5 = 2,18 \frac{S_1^2}{S} \Psi_5(u) \sqrt{\frac{R}{\epsilon}} - 1,85 \cos \varphi.$$

Таким образом, известными сферической передорожки с цилиндрической оболочкой определяют по формуле (2.110); расчетные изгибающие и сферической передорожке на контуре пропорциональны к той цилиндрической оболочке - по формулам (2.85) и (2.86).

Для определения изгибающих в цилиндрической оболочке должны быть определены усилия моменты, действующие в отдельном сечении участка защигуемой оболочки с ее наружным контуром. Согласно формулам (1.64), (1.73) и (1.76) изгибющий момент в отдельном сечении внутреннего защигуемого участка оболочки определяют по выражению

$$\begin{aligned} M_1 &= [-0,78T\sqrt{\epsilon-6} (\Psi_1(u) + \Psi_2(u)) + M(2\Psi_4(u) + \Psi_5(u) + 1) + \\ &+ 0,258pr\delta(\Psi_1(u) - 1)] / \Psi_6(u), \end{aligned} \quad (2.120)$$

где функции $\Psi_1(u)$ определяют формулами (1.60). Значение функции дано в табл. 2 приложения.

Изгибющий момент в отдельном сечении наружного защигуемого участка цилиндрической оболочки определяется формулами (1.64), (1.73) и (1.76) определяют по выражению

$$\begin{aligned} M_2 &= M - [M(2\Psi_1(u) + \Psi_2(u) + 1) - 0,78T\sqrt{\epsilon-6} (\Psi_1(u) + \Psi_2(u)) + \\ &+ 0,258pr\delta(\Psi_1(u) - 1)] / \Psi_6(u). \end{aligned} \quad (2.121)$$

Напряжения в наружном отдельном сечении защигуемого участка оболочки

$$\sigma'_1 = \pm \frac{SM_1}{S^2}. \quad (2.122)$$

Напряжения в наружном отдельном сечении наружного участка оболочки

$$\sigma'_2 = \pm \frac{SM_2}{S^2} - \frac{pr}{2S}. \quad (2.123)$$

Напряжения в продольном сечении для каждого из рассматриваемых участков оболочки по статическому сечению определяют по

формула (2.115), в которой выражение первых трех членов не отличается от формулы (2.116).

Рассмотрим теперь случай проектирования гиперболической оболочки некоего диаметра ее торками сечениями к контуру изогнутой в сферической оболочке, так показано на рис.2.14.



Рис.2.14. Проецирование гиперболической оболочки торками сечениями к круговому меридиану сферической оболочки:
a - схема конструирования; б - условие и торками сечения гиперболической оболочки

В отсчете от предыдущей задачи различие в условии определения стержневого контура гиперболической оболочки сразу определяется выражением:

Гиперболические перемещения

$$\Delta_2 = \frac{pr^2(1-\nu_2)}{E\delta} + \frac{2,5T^2}{E\delta\sqrt{\nu_2}} - T + \frac{2,3r}{E\delta T} M. \quad (2.124)$$

Гиперболические перемещения

$$\Theta_2 = \frac{2,3r}{E\delta T} T - \frac{6,48r}{E\delta^2\sqrt{\nu_2}} M. \quad (2.125)$$

Приравняв различные в узлах перемещения контура сферической оболочки (2.75), (2.76) соотношения перемещения контура гиперболической оболочки (2.124) и (2.125), проходим к граничным для определения узловых перемещений (2.108), в которых коэффициенты $\alpha_1, \dots, \alpha_4$ определяются по интегрированным формулам:

$$\begin{aligned} \alpha_1 &= 2,57 \sqrt{\frac{R}{\delta_1}} \sin \varphi + 1,3 \cos^2 \varphi + 2,57 \sqrt{\frac{R}{\delta_1}} \sqrt{\frac{r}{R}} ; \quad \alpha_2 = 3,3 \left[\frac{\delta_1}{\delta_2} - 1 \right] ; \\ \alpha_3 &= 6,48 \left[\frac{1}{\sin \varphi} \sqrt{\frac{R}{\delta_1}} + \frac{R}{\delta_1} \sqrt{\frac{R}{\nu_2}} \right] ; \end{aligned}$$

$$\left. \begin{aligned} \alpha_4 &= 1,285 \sqrt{\frac{R}{\delta_1}} \cos \varphi + \frac{0,35}{\sin \varphi} - \sin \varphi - 0,55 \sin^2 \varphi \cos \varphi - \\ &- 0,86 (\delta_1 / \delta_2) ; \quad \alpha_5 = -1,85 \sin \varphi \cos \varphi . \end{aligned} \right\} \quad (2.126)$$

Таким образом получены сферической и гиперболической оболочки для рассматриваемой конструкции формулы

$$\left. \begin{aligned} T &= \frac{\alpha_1 \alpha_3 - \alpha_2 \alpha_4}{\alpha_1 \alpha_2 - \alpha_3 \alpha_4} pR ; \\ M &= \frac{\alpha_1 \alpha_2 - \alpha_3 \alpha_4}{\alpha_1 \alpha_2 - \alpha_3 \alpha_4} pR\delta . \end{aligned} \right\} \quad (2.127)$$

Расчетные выражения в количестве и пределах сечения контура сферической оболочки определяют по формулам (2.85) и (2.86).

Расчетные выражения на контуре гиперболической оболочки определяют по следующим формулам.

В исходном сечении контура

$$\Theta_1' = - \frac{pr}{2\delta} + \frac{6M}{2\delta} \quad (2.128)$$

В продольном сечении

$$\Theta_2' = \frac{E\delta_1}{\delta} + \alpha \Theta_1' , \quad (2.129)$$

где α_2 - определяется по формуле (2.124).

§ 12. Рассчет сечениями сферической оболочки с плоскими и гиперболическими диаметрами

Для удобства установки сооружения сферической формы на горизонтальном спирале поверхности плавкообразно в конструкции такого сооружения предусматриваются плоские диаметры. Задача проектирования такого сооружения требует определения условий изогнульности сферической оболочки в плоском диаметре, вынуждающие деформации внутренних для изменения диаметров.

Рассмотрим конструкцию, показанную в предыдущем сечении на рис.2.10, а, представляющую собой часть такого сооружения. На рис.2.13, б, показаны продольные сечения рассматриваемой части этого сооружения с условиями, действующими по краю и в

одинаков друг с другом. Их можно упростить, так как в других случаях, опираются на основании угловых разрывов радиальных и угловых перемещений из-за промежутков открытия и закрытия. Для вычисления радиальных и угловых перемещений из промежутков параллелей в сферической оболочке используем формулы (2.75) и (2.76).



Рис.2.15. Схемы сферической оболочки в плюсах плоскостей неподвижных дисков: а - схема координатных осей; б - уголок на контуре верха сферической оболочки; в - уголок на контуре другого диска.

Радиальные и угловые перемещения плоского диска, рассматриваемого как круговой плоский диск постоянной толщины, вынужденные разматыванием длины по всей его поверхности, складываются радиальными погонами угла φ и потенциальными моментами M , приложенным по этому контуру концентрическим с оболочкой, опирающимся следующими выражениями.

Радиальное перемещение контура:

$$\delta = \frac{T r}{E S} (1 - \nu), \quad (2.130)$$

где δ - радиальное перемещение контура, положительное в направлении к центру диска; r - радиус контура диска; S - площадь диска; T - радиальное усилие на контуре.

Угловое перемещение контура, обусловленное разматыванием длины на диске в действии моментов на контуре [9] (угол поворота окружностей диска)

$$\theta = 0,05 \frac{r T^2}{E S T} - 0,4 \frac{M r}{E S T}, \quad (2.131)$$

где θ - угол поворота окружностей диска, положительный

при вращении по часовой стрелке (или участка диска, показанного на рис.2.15,в); r - радиус-вектор контура диска; M - угловой момент, действующий на контуре диска.

Приложив выражения (2.75) и (2.76), а также (2.130) и (2.131), получим уравнения для определения угловых перемещений:

$$\left. \begin{aligned} \alpha_1 T - \alpha_2 \frac{M}{S_1} &= \alpha_1 p r ; \\ - \alpha_2 T + \alpha_3 \frac{M}{S_1} &= \alpha_3 p r . \end{aligned} \right\} \quad (2.132)$$

где коэффициенты граничных значений равны:

$$\left. \begin{aligned} \alpha_1 &= 2,57 \sqrt{\frac{S}{S_1}} \sin \varphi + (1 + \nu) \cos^2 \varphi; \quad \alpha_2 = 3,3; \\ \alpha_3 &= 0,46 \sqrt{\frac{S_1}{S}} + 0,4 \frac{S_1}{S} T; \\ \alpha_4 &= \frac{0,35}{\sin \varphi} + 1,265 \sqrt{\frac{S}{S_1}} \sin \varphi \cos \varphi + \cos \varphi - \\ &- 0,65 \sin \varphi \cos \varphi; \\ \alpha_5 &= 1,05 \frac{S_1}{S} T - 1,65 \cos \varphi. \end{aligned} \right\} \quad (2.133)$$

После решения системы (2.132) получим

$$\left. \begin{aligned} T &= \frac{\alpha_1 \alpha_4 + \alpha_2 \alpha_5}{\alpha_1 \alpha_3 - \alpha_2 \alpha_4} p r; \\ M &= \frac{\alpha_1 \alpha_5 + \alpha_2 \alpha_4}{\alpha_1 \alpha_3 - \alpha_2 \alpha_4} p r S_1. \end{aligned} \right\} \quad (2.134)$$

Определение радиальных перемещений в концах и продольных сечениях контура сферической оболочки находим по формулам (2.85) и (2.86).

Расчетные выражения на контуре плоского диска:

в концевых сечениях

$$\Theta'_1 = - \frac{T}{S} \pm \frac{6M}{S T}; \quad (2.135)$$

в продольном сечении

$$\Theta'_2 = - \frac{E d}{r} + \Theta'_1. \quad (2.136)$$

где d - соразмеряется по формуле (2.130).

Расчетные напряжения в центре лома

$$\sigma_3' = -\frac{T}{S} \pm \left(-\frac{6M}{S^2} + 1,24 \frac{PC^2}{S^2} \right). \quad (2.137)$$

Напряжения, определяемые по формуле (2.137), соответствуют положительному значению узлового момента. Изображено на рис. 2.15, б.

Таблица I

<i>a</i>	<i>f₁(a)</i>	<i>f₂(a)</i>	<i>f₃(a)</i>	<i>f₄(a)</i>	<i>f₅(a)</i>	<i>f₆(a)</i>
0,55	2,90	1,82	2,95	2,84	17,93	18,24
0,60	2,31	1,66	2,37	2,34	18,81	14,11
0,65	1,97	1,54	2,15	2,08	10,84	11,36
0,70	1,69	1,42	2,17	2,05	8,66	9,01
0,75	1,40	1,33	2,39	2,08	7,02	7,39
0,80	1,15	1,24	2,75	2,01	5,78	6,16
0,85	0,91	1,17	2,23	2,05	4,78	5,20
0,90	0,70	1,10	2,79	2,04	4,00	4,45
0,95	0,52	1,04	3,48	2,12	3,38	3,85
1,00	0,37	0,97	3,10	2,02	2,87	3,37
1,10	0,20	0,80	2,60	1,84	2,12	2,66
1,20	0,10	0,61	2,23	1,70	1,56	2,18
1,30	0,07	0,74	1,95	1,59	1,20	1,84
1,40	0,04	0,68	1,73	1,48	0,92	1,61
1,50	0,02	0,62	1,55	1,39	0,71	1,44
1,60	0,02	0,57	1,43	1,32	0,54	1,31
1,70	0,07	0,52	1,33	1,26	0,41	1,22
1,80	0,14	0,48	1,25	1,22	0,31	1,16
1,90	0,23	0,44	1,18	1,17	0,22	1,11
2,00	0,34	0,40	1,13	1,14	0,16	1,08
2,10	0,45	0,36	1,10	1,11	0,10	1,05
2,20	0,58	0,33	1,07	1,08	0,06	1,04
2,30	0,71	0,30	1,05	1,06	0,02	1,03
2,40	0,85	0,27	1,03	1,05	-0,01	1,01
2,5	0,99	0,24	1,02	1,04	-0,03	1,01

Таблица 2

α	$\Psi_1(\alpha)$	$\Psi_2(\alpha)$	$\Psi_3(\alpha)$	$\Psi_4(\alpha)$	$\Psi_5(\alpha)$
0,05	0,30	0,34	0,33	0,30	0,29
0,10	0,36	0,393	0,36	0,363	0,367
0,15	0,34	0,373	0,47	0,393	0,397
0,20	0,323	0,344	0,443	0,393	0,399
0,25	0,310	0,323	0,421	0,392	0,393
0,30	0,299	0,298	0,400	0,392	0,392
0,35	0,290	0,280	0,381	0,393	0,391
0,40	0,283	0,264	0,364	0,395	0,390
0,45	0,278	0,261	0,348	-0,398	0,397
1,00	0,273	0,040	0,334	0,302	0,295
1,10	0,267	0,033	0,311	0,313	0,289
1,20	0,263	0,032	0,294	0,328	0,282
1,30	0,262	0,006	0,281	0,344	0,275
1,40	0,261	0,002	0,271	0,362	0,269
1,50	0,261	0,0008	0,264	0,380	0,264
1,60	0,261	0,0003	0,260	0,397	0,260
1,70	0,261	0,0006	0,257	0,413	0,256
1,80	0,261	0,0014	0,254	0,428	0,253
1,90	0,260	0,0024	0,253	0,442	0,251
2,00	0,260	0,0033	0,253	0,453	0,250
2,10	0,258	0,0036	0,252	0,464	0,249
2,20	0,258	0,0042	0,252	0,472	0,248
2,30	0,257	0,0043	0,252	0,479	0,248
2,40	0,256	0,0043	0,252	0,484	0,248
2,50	0,255	0,0042	0,252	0,489	0,248

Л И Т Е Р А Т У Р А

1. КОЛЫКОВ В.В., КИРОВСКИЙ И.М. и др. Задачник по строительной механике кораблей. Л.: Судостроение, 1962.
2. Справочник по строительной механике кораблей. В 2 т. //Подгот. Г.В., Палкин О.М. и др. Л.: Судостроение. 1962. т.1.
3. ПАПКОВИЧ П.Ф. Строительная механика кораблей. В 2 т. №-1: Морской транспорт. 1947. т.2, ч.1.
4. КИРИН А.И. Численные методы обработки промышленных измерений радиотехнических и спутниковых спутниковых спутниковых промышленности. 1972.
5. Прочность судов внутреннего плавания: Справочник// Димитров В.В., Мартин В.В. и др. М.: Транспорт, 1978.
6. КИРИН А.И. Расчет напряжений в сферических днищах с поликратичными круговыми отверстиями// Судостроение, 1976, № 7. С. 19-20.
7. ПАПКОВИЧ П.Ф. Теория упругости. М.-Л.: Оборониздат, 1966.
8. ТАКОВСКИЙ С.П. Сопротивление материалов. М.: Наука, 1965.
9. ПАПКОВИЧ П.Ф. Строительная механика кораблей. Л.: Высшее строительственное образование, 1941. 4.2.

ОГЛАВЛЕНИЕ

Введение	3
Глава 1. Дифференциальное уравнение метода оболочек Края с постоянными границами разделения крайами, на которых посторонними моментами делящимися	4
§ 1. Базы дифференциального уравнения	4
§ 2. Дифференциальное уравнение метода реальных оболочек и его общий интеграл	6
§ 3. Графические формулы для определения первоини- циалов в узлах сечениях оболочки краями	11
Глава 2. Исследование напряженного состояния в узлах сечениях различного оболочки краями	25
§ 4. Определение узлов напряженностей угла разгиба крайа оболочки с плоскогранитной оболочкой корытое сечение	25
§ 5. Рассчет сечениями конической оболочки корытое сечение с конической сферической передней поверхностью	32
§ 6. Рассчет сечениями конической сферической передней поверхности с плоскогранитной оболочкой корытое сечение	38
§ 7. Рассчет сечениями конической сферической передней поверхности с плоскогранитной оболочкой корытое сечение посредством горизонтальной вырезки ...	40
§ 8. Исследование напряженного состояния сече- ния конической оболочки с плоскогранитной	45
§ 9. Исследование напряженного состояния в узле пресечения плоскогранитной оболочки неко- его диаметра с сферической оболочкой	50
§ 10. Исследование напряженного состояния сфе- рической оболочки в районе круглого выреза, подкрепленного пластины круглым кольцом при действии радиометрического внешнего давления ...	57

§ 11. Исследование напряжений в сферической линии с круговым отверстием, покрытым пе- риодическим стыком	60
§ 12. Рассчет сечениями сферической оболочки с плоским плоскогранитным дном	67
Приложения	71
Литература	73